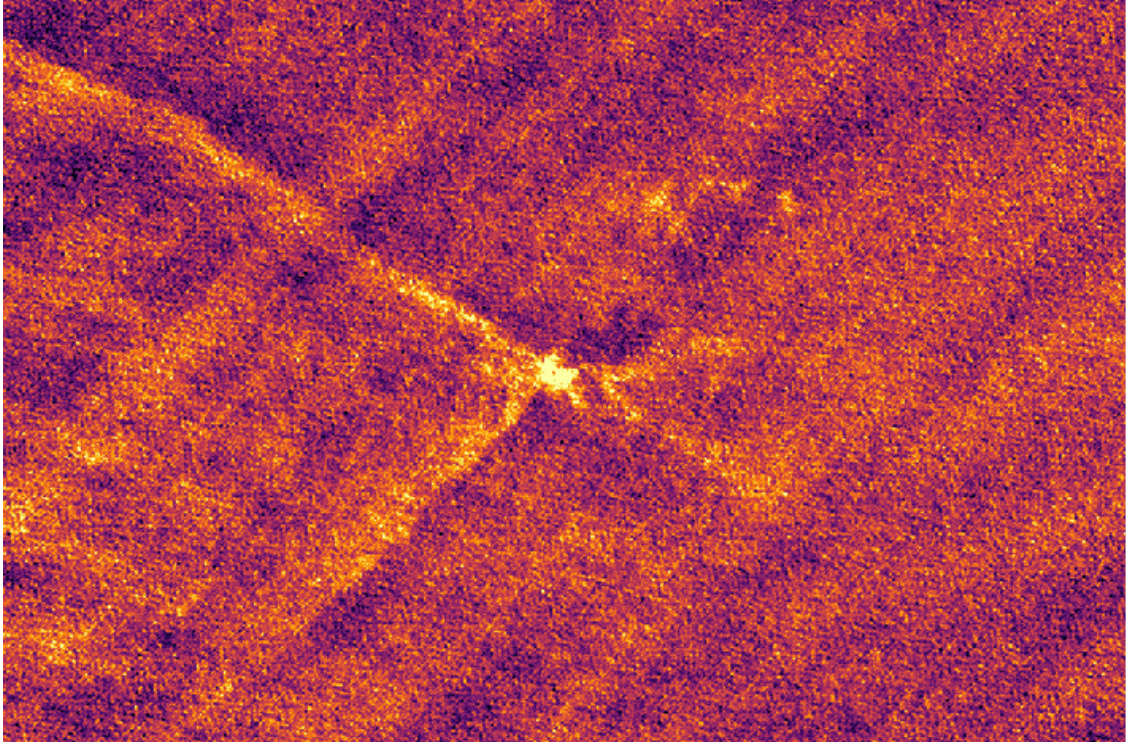




CHALMERS



Studie av molekylära utflöden från protoplanetära skivor

En systematisk arkivstudie av observationer från ALMA-teleskopet

Kandidatarbete inom Rymd-, geo- och miljövetenskap

MARKUS HJÄLT, CHRISTOPHER LARSSON,
ANTON ROSÉN, LUKAS THIM, TOMAS THURE

INSTITUTIONEN FÖR RYMD-, GEO- OCH MILJÖVETENSKAP

CHALMERS TEKNISKA HÖGSKOLA
Göteborg, Sverige 2022
www.chalmers.se

KANDIDATARBETE 2022

Studie av molekylära utflöden från protoplanetära skivor

En systematisk arkivstudie av observationer från ALMA-teleskopet

MARKUS HJÄLT
CHRISTOPHER LARSSON
ANTON ROSÉN
LUKAS THIM
TOMAS THURE



CHALMERS

Institutionen för Rymd-, geo- och miljövetenskap
CHALMERS TEKNISKA HÖGSKOLA
Göteborg, Sverige 2022

Studie av molekylära utflöden från protoplanetära skivor
En systematisk arkivstudie av observationer från ALMA-teleskopet

MARKUS HJÄLT
CHRISTOPHER LARSSON
ANTON ROSÉN
LUKAS THIM
TOMAS THURE

© Markus Hjält, Christopher Larsson, Anton Rosén, Lukas Thim och Tomas Thure
2022.

Handledare: Per Bjerkeli och Eva Wirström, Institutionen för Rymd-, geo- och
miljövetenskap
Examinator: Magnus Thomasson, Institutionen för Rymd-, geo- och miljöveten-
skap

Kandidatarbete 2022
Institutionen för Rymd-, geo- och miljövetenskap
Chalmers tekniska högskola
412 96 Göteborg, Sverige
Telefon +46 31 772 1000

Omslag: Bilden visar ett blåförskjutet molekylärt utflöde från den protoplanetära
skivan runt protostjärnan B335 studerat med ALMA-teleskopet i band 6.

Typsatt i L^AT_EX
Göteborg, Sverige 2022

Studie av molekylära utflöden från protoplanetära skivor
En systematisk arkivstudie av observationer från ALMA-teleskopet
Markus Hjält, Christopher Larsson, Anton Rosén, Lukas Thim och Tomas Thure
Institutionen för Rymd-, geo- och miljövetenskap
Chalmers tekniska högskola

Sammandrag

När en ny stjärna bildas, börjar processen med att moln av gas och stoft kollapsar till en central protostjärna med en omkringliggande protoplanetär skiva. Stoft och gas från skivan faller kontinuerligt in mot protostjärnan. Massa lämnar dock även systemet i form av snabba jetstrålar och långsammare molekylära utflöden från protostjärnan och skivan.

I detta arbete är målet att utveckla ett verktyg som kan underlätta för forskare att dra slutsatser om utflöden, dess sammansättning och dess utbredning. Datan som används i projektet kommer från ALMA-teleskopets (Atacama Large Millimeter/-submillimeter Array) publika arkiv. Urvalet av intressanta observationer utförs systematiskt med hjälp av ett beslutsträd. Beslutsträdet har utformats för att filtrera ut observationer baserat på till exempel vinkelupplösning, förekomst av vissa molekyler och olika nyckelord. Urval, nedladdning och analys av intressant data görs med hjälp av existerande funktioner i den digitala verktygslådan *ALminer*. Programmet börjar med att producera momentavbildningar över frekvensintervall som innehåller blå- respektive rödförskjuten emission. Utifrån dessa kan vinkeln på utflöden uppskattas. Därutöver förs statistik över, bland annat, antalet observerade objekt som innehåller vissa molekyler.

Med hjälp av dessa metoder har ett verktyg utvecklats som kan stödja forskare med insamling, filtrering och analys av data från ALMA-arkivet. Via verktyget får forskare tillgång till nedladdningsrutiner, statistiska verktyg och analytiska funktioner för att skapa momentavbildningar och vinkeluppskattningar för utflöden.

Nyckelord: protostjärna, protoplanetär skiva, molekylärt utflöde, ALMA-teleskopet, ALminer

Study of molecular outflows from protoplanetary disks

A systematic archive study of observations made by the ALMA-telescope

Markus Hjält, Christopher Larsson, Anton Rosén, Lukas Thim and Tomas Thure

Department of Space, Earth and Environment

Chalmers University of Technology

Abstract

When a new star is formed, the process begins with clouds of gas and dust that collapses into a central protostar with a surrounding protoplanetary disk. Dust and gas from the disk continuously falls in towards the protostar. Mass is also expelled from the system in the form of jets and slower moving molecular outflows from the protostar and its disk.

The aim of this project is to develop a tool that will make it easier for scientists to draw conclusions about outflows, their composition and their distribution. The data in this project is taken from the ALMA-telescope's (*Atacama Large Millimeter/submillimeter Array*) public archive. The selection of interesting observations is done systematically with the help of a decision tree. The decision tree has been designed to filter out observations based on angular resolution, presence of certain molecules and different keywords. The selection, downloading and analysis of interesting data is done with the help of existing functions in the digital toolbox *ALminer*. The program starts by producing moment maps over frequency intervals containing blue- respectively redshifted emission. From these, the angle of the outflow can be estimated. Moreover, statistics are gathered about, among others, the number of observed objects containing certain molecules.

With these methods, a tool has been developed that can support scientists with collecting, filtering and analysing data from the ALMA-archive. Through the use of this tool, scientists get access to download routines, statistical tools and analytical functions to produce moment maps and angular estimations of outflows.

Keywords: Protostar, Protoplanetary disk, Molecular outflow, ALMA-telescope, ALminer

Förord

Först och främst vill vi rikta ett stort tack till våra handledare Per Bjerkeli och Eva Wirström. Utan deras vägledning, stöd och kompetens hade inte genomförandet av detta projekt varit möjligt. Våra spännande och kreativa diskussioner vid de veckoliga mötena drev projektet framåt och inspirerade gruppen. Projektets forskningsnära karaktär gav oss stor inblick i hur modern forskning går till och gav oss en känsla av att produkten som skapats faktiskt kan komma till användning i framtiden.

Vi vill även tacka Adele Plunkett, astronom vid *National Radio Astronomy Observatory*. Hennes råd kring databehandling var insiktsfulla och hennes idéer hjälpte oss att tackla svåra problem.

Markus Hjält, Christopher Larsson, Anton Rosén, Lukas Thim och Tomas Thure,
Göteborg, maj 2022

Innehåll

1	Inledning	1
1.1	Syfte	2
2	Teori	3
2.1	Stjärnbildning	3
2.2	Utflöden	5
2.3	Kvantmekanik och emissionsspektrum	6
2.3.1	Schrödingerekvationen	6
2.3.2	Rotationskvanttal	7
2.3.3	Elektromagnetisk strålning	9
2.3.4	Dopplerförskjutning	12
2.4	ALMA-teleskopet	13
2.4.1	Dataprodukter från ALMA	15
2.4.1.1	Primary Beam Correction	16
2.5	Momentavbildningar	18
2.6	Kurvanpassning	18
2.6.1	Gauss-funktioner	19
3	Metod	21
3.1	Filtrering och nedladdning av observationer	21
3.2	Generera momentavbildningar	22
3.2.1	Identifiering och lokalisering av protoplanetära skivor	23
3.2.2	Analys av frekvensprofiler	24
3.2.3	Generera momentavbildningar	27
3.2.4	Alternativa metoder för att generera momentavbildningar	28
3.2.4.1	Maximummetoden	28
3.2.4.2	RMS-metoden	29
3.3	Identifiering av utflöden	30
3.3.1	Beräkning av brusnivå	30
3.3.2	Identifiering av utflödets vinkel via konturkartor	31

3.3.3	Identifiering av utflödets vinkel via medelintensitet i ett vinkelomfång.	34
4	Resultat	36
4.1	Beslutsträd	36
4.2	Momentavbildningar	37
4.3	Identifiering av utflöde	38
4.4	Statistik	39
4.5	Systematisk analys	42
5	Diskussion och Slutsatser	43
5.1	Diskussion	43
5.2	Förbättringsområden	44
5.3	Vidareutveckling av projektet	45
5.4	Slutsatser	46
	Referenser	47
A	Utvalda molekyler och tillhörande rotationsövergångar	I
B	ALMA_statistics.py	II
C	alminer_extensions.py	V
D	FittingData.py	XII
E	main.py	XXXIII

1

Inledning

Något vi människor alltid funderat över är vart vi kommer ifrån och hur vårt solsystem en gång bildades. Det är dessvärre svårt att undersöka eftersom solsystemet är cirka 4,5 miljarder år gammalt [1]. Som tur är bildas nya stjärnor och solsystem ständigt runt om i vår galax. Avstånden är dock för stora för att människor ska kunna ta sig dit. Det närmsta stjärnbildande området i galaxen, Orionnebulosan, är belägen ungefär 1 350 ljusår bort [2]. De nybildade stjärnorna måste istället studeras med hjälp av teleskop från jorden och rymden. Genom att studera hur nya solsystem bildas kan forskare dra slutsatser om hur vårt eget solsystem bildades en gång i tiden. Detta ökar också förståelsen för hur planeter, likt jorden, kan bildas.

För att en ny stjärna ska bildas, krävs det ett enormt moln av molekyler och stoft [3]. Molnet kommer att, på grund av gravitationskraften, ackumulera materia från omkringliggande regioner med följden att molnets massa ökar. Till slut når molnet en kritisk massa vid vilken gravitationskraften i molnet övervinner det utåt verkande trycket och molnet kollapsar. Vid kollapsen koncentreras gasen i centrum av molnet och ett klotformat objekt bildas, vilket senare kommer att bli en stjärna. Runt denna *protostjärna* bildas det även en skiva av stoft. Skivan bildas eftersom all gas inte faller in till fullo på grund av de krafter molnets rotation ger upphov till.

När massa från skivan kollapsar in mot protostjärnan ökar rörelsemängdsmomentet [3]. Detta eftersom rotationshastigheten ökar när radien minskar. Eftersom rörelsemängdsmoment är en bevarad storhet måste det totala rörelsemängdsmomentet konserveras. För att upprätthålla denna jämvikt bildas bipolära utflöden från regionen kring protostjärnan genom vilka molekyler och stoft lämnar molnet. Hur dessa utflöden uppstår och hur de beter sig är ännu till viss del oklart och det är därför av stort intresse att studera utflöden närmare. Att studera utflöden är viktigt för att förstå miljön där planetbildning sker och hur det eventuellt kan påverka planeternas sammansättning och bildning [4].

Utfloeden och unga stjärnor studeras bland annat med *ALMA-teleskopet* (*Atacama Large Millimeter/submillimeter Array*) i Chile [5]. ALMA-teleskopet är lämpligt för detta ändamål eftersom dessa objekt kräver ett teleskop med god upplösning som kan observera i rätt våglängdsintervall [6][7]. Alla observationer som utförs med ALMA lagras i ett stort arkiv, ALMA-arkivet [8]. Det är dock en tidskrävande process för forskare att manuellt genomsöka detta arkiv för att leta efter olika observationer och ladda ner dem för att sedan kunna analysera datan. Därför syftar detta projekt till att utveckla ett program som hjälper forskare att på ett effektivt sätt filtrera fram relevant data från ALMA-arkivet, med fokus på utfloeden, för att sedan automatiskt kunna analysera utfloeden närmare.

1.1 Syfte

Det övergripande syftet med projektet är att utveckla ett program som hjälper forskare att systematiskt genomsöka ALMA-arkivet efter specifika observationer och identifiera förekomsten och distributionen av molekyler samt stoft i utfloeden hos protostjärnor. En av de viktigaste delarna för att uppnå detta är skapandet av ett beslutsträd som programmet använder för att sälla ut intressanta objekt för vidare analys. Med programmet kan stora datamängder analyseras mer effektivt då denna analys i dagsläget huvudsakligen görs manuellt. Att effektivisera analysmetoden är även av intresse ur ett tidsperspektiv, då den manuella analysen är tidskrävande. Slutprodukten, i form av programmet, syftar till att vara användbart för astronomer eller andra forskare och kommer att kunna användas för att systematiskt analysera ALMA-arkivet eller vidareutveckla programmet för framtida forskning.

2

Teori

För att bättre förstå principerna bakom projektets metodik krävs en del bakgrundskunskap. Här ges bakgrund kring hur stjärnbildning sker, vad ALMA-teleskopet är och hur det fungerar, hur observationer genomförs med teleskopet och hur data lagras. Även teorin bakom kvantmekanik, som ligger till grund för rotationsövergångar och emissionsspektrum hos atomer och molekyler, beskrivs. Vid databehandlingen används momentavbildningar och kurvanpassningar, så även det förklaras i detta kapitel.

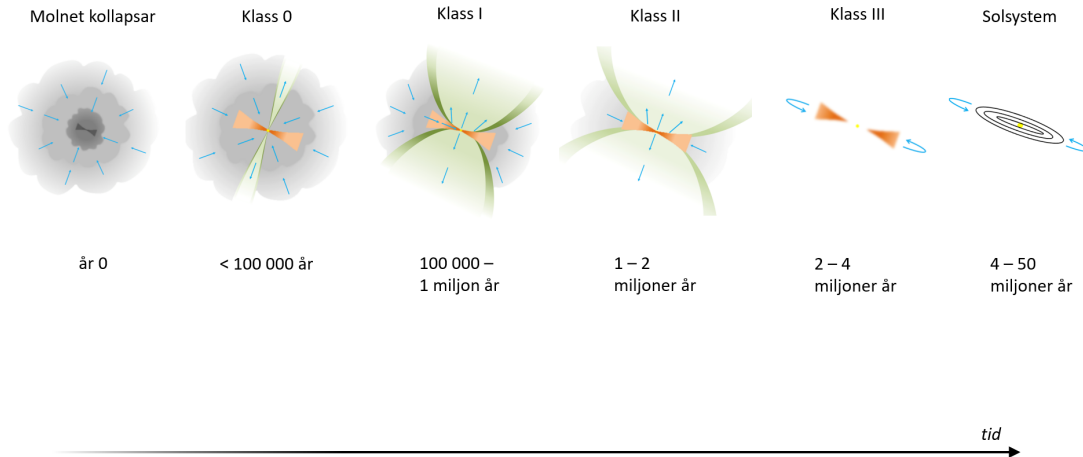
2.1 Stjärnbildning

Inuti galaxers skivor förekommer interstellära moln bestående av gas och stoft. Dessa massiva moln kan motsvara så mycket som 100 000 solmassor [3]. De består till största delen av molekyllärt väte, H_2 , och har en genomsnittlig densitet av 100 H_2 -molekyler per kubikcentimeter. Molnen är dock inte homogena och i vissa områden kan densiteten uppgå till 10 000 H_2 -molekyler per kubikcentimeter. Det är i dessa områden med hög densitet som stjärnbildning sker.

De molekyllära molnen påverkas av en inåtriktad gravitationskraft. Denna kraft är i jämvikt med molnens inre termiska tryck, turbulenta gasrörelse samt ett inre magnetfält [3]. Då molnet uppnår en kritisk massa, den så kallade Jeansmassan, blir dock molnet gravitationellt instabilt och en kollaps mot den täta kärnan påbörjas. Jeansmassan ges av

$$M_J = \left(\frac{5k_b T}{Gm} \right)^{\frac{3}{2}} \left(\frac{3}{4\pi\rho} \right)^{\frac{1}{2}}, \quad (2.1)$$

där k_b är Boltzmanns konstant, T är temperaturen, G är gravitationskonstanten, m är massan av en gaspartikel och ρ är molnets densitet [9]. Ekvationen indikerar att ju kallare och tätare ett moln är, desto lägre blir Jeansmassan. Kalla och täta moln är alltså mer benägna att kollapsa jämfört med varma och tunna moln enligt Ekvation 2.1.



Figur 2.1: En schematisk bild över stjärnbildningsprocessens tidslinje (Bjerkeli, 2022).

Det är i centrum av de täta kärnorna som protostjärnor bildas, vilket är det första steget i stjärnbildningsprocessen [3]. En stjärna klassas som en protostjärna i cirka 100 000 år och förblir i detta stadie så länge som det tillförs massa från det omkringliggande höljet bestående av molekyler och stoft. Detta stadium motsvarar klass 0 i Figur 2.1, som visar stjärnbildningsprocessens olika steg längs en tidslinje och hur det bipolära utflödet förändras med tiden. Notera att tiderna i figuren är ungefärliga och endast gäller för lågmassiva stjärnor.

Tillförseln av massa från höljet sker med en hastighet av några jordmassor per år [3]. Samtidigt som tillförseln sker, förekommer även stabila utflöden av materia från området kring protostjärnans poler. Det är ofta genom dessa bipolära utflöden som nya protostjärnor upptäcks eftersom protostjärnan själv är svår att detektera.

Samtidigt som bipolära utflöden pågår, kommer protostjärnans densitet att öka eftersom materia faller in mot dess centrum och dess storlek minskar [3]. Rotationshastigheten runt protostjärnans centrum kommer också att öka då dess radie minskar. Materia med låg hastighet faller direkt in mot protostjärnan medan materia med tillräckligt hög hastighet istället hamnar i omloppsbana runt protostjärnan. På grund av materians varierande hastighet får dessa omloppsbanor olika radier, vilket medför att en skiva runt protostjärnan bildas.

När det omkringliggande stoftet och gasen har dragits in till protostjärnan eller hamnat i skivan, anses inte den centrala gasansamlingen vara en protostjärna längre utan den har nu blivit en så kallad "*pre-main-sequence star*" eller en före huvudseriestjärna [3]. Detta stadium definieras av att temperaturen i kärnan nu är tillräckligt hög, cirka 1 000 000 K, för att få deuteriumatomer, ^2H , att slås samman med protoner, H^+ , och således bilda helium-3, ^3He . Det är just denna reaktion som definierar en före huvudseriestjärna [10]. Stjärnan har i och med detta nått klass III i Figur 2.1.

Stadiet innan stjärnan når huvudserien kan pågå upp till ett tiotal miljoner år [3]. Någon gång under den tidigare perioden av detta stadiet, under de första miljoner åren, börjar protostjärnan kunna observeras med optiska teleskop. Från och med denna tidpunkt kallas dessa objekt *T Tauri-stjärnor*. Dessa omges fortfarande av en protoplanetär skiva som representeras av klass II i Figur 2.1 och regionen kring stjärnan har ett fortsatt bipolärt utflöde. Efter ett antal miljoner år har gasen och stoftet i den protoplanetära skivan försvunnit genom utflödet och en ung stjärna finns kvar i centrum. I vissa fall kan relativt stora objekt bli kvar i omloppsbana runt stjärnan i så kallade fragmentskivor eller "*debris disks*". Det är ur dessa skivor som planeter, asteroider och månar har sitt ursprung [3]. Detta kan representeras av det utvecklade solsystemet i Figur 2.1.

Efter ytterligare tiotals miljoner år kommer den inåtverkande gravitationskraften börja dominera över det utåtverkande trycket [3]. Denna kompression höjer temperaturen i stjärnans kärna till cirka 10 000 000 K. Vid denna temperatur kan fyra protoner, H^+ , slås samman och bilda en helium-4 atom, ^4He . Det är denna fusionsreaktion som producerar den avsevärt största mängden energi i stjärnan och i samband med att denna reaktion påbörjas har stjärnan nått ett tillstånd där den är mycket stabil. Det är också när fusionsreaktionen påbörjas i stjärnans inre som den når huvudserien av sin livscykel och kommer förbli där under miljarder år.

2.2 Utflöden

En viktig aspekt av stjärnbildningsprocessen är utflöden. När massa från de molekylära molnen faller in mot den roterande skivan, kommer rörelsemängdsmomentet öka [3]. För att det totala rörelsemängdsmomentet ska bevaras måste massa lämna systemet. Det är utflöden från molnet som utgör denna naturliga massförlust, och således också motsvarande förlust av rörelsemängdsmoment [11].

Utflöden är ett fenomen som påträffas i unga stjärnor som fortfarande har ett molekylärt moln runt sig [3]. I utflöden från unga stjärnor kan två möjliga komponenter hittas, jetstrålar och långsammare vindar [12]. Båda är bipolära, alltså att de finns på båda sidor av skivan. Utöver denna likhet är utflödets karaktär ganska olika. Jetstrålar har hög hastighet och består av gas som skjuts ut i två smala, bipolära strålar. En typisk hastighet för jetstrålar är 300 km/s med en temperatur på 10 000 K. De långsammare vindarna däremot är mer konformade och består av långsammare och kallare gas. En typisk hastighet för dessa vindar är 10 km/s. Vindens hastighet tycks öka med minskande avstånd till mitten på utflödet i vad som liknar en lökstruktur [13]. Det innebär att hastigheten är segmenterad, alltså varierande för olika radier från den centrala axeln. Vindarnas temperatur är typiskt ungefär 10 K [12].

2.3 Kvantmekanik och emissionsspektrum

Följande avsnitt behandlar centrala begrepp inom kvantmekaniken som ligger till grund för uppkomsten av rotationsövergångar som kan studeras genom emissionsspektrum. Detta då emissionsspektrum är en viktig komponent i forskning kring utflöden.

2.3.1 Schrödingerekvationen

Ett centralt begrepp i kvantmekaniken är *vågfunktionen*, betecknad Ψ , som beskriver tillståndet för ett kvantmekaniskt system. Vågfunktionens utseende kan erhållas genom att lösa *Schrödingerekvationen* som är en partiell differentialekvation [14]. Schrödingerekvationen finns i två varianter, den *tidsberoende* och den *tidsoberoende*. Följande uttryck beskriver den tidsberoende Schrödingerekvationen,

$$\hat{H} |\Psi(\mathbf{r}, t)\rangle = i\hbar \frac{\partial}{\partial t} |\Psi(\mathbf{r}, t)\rangle, \quad (2.2)$$

där \hat{H} är Hamiltonoperatören som beskriver systemets energi, i är den imaginära enheten och \hbar är Plancks konstant dividerad med 2π . Löses Ekvation 2.2 genom variabelseparation kommer lösningen av tidsberoendet enbart vara en periodisk fasfaktor och Ekvation 2.2 reduceras till

$$\hat{H} |\psi(\mathbf{r})\rangle = E |\psi(\mathbf{r})\rangle, \quad (2.3)$$

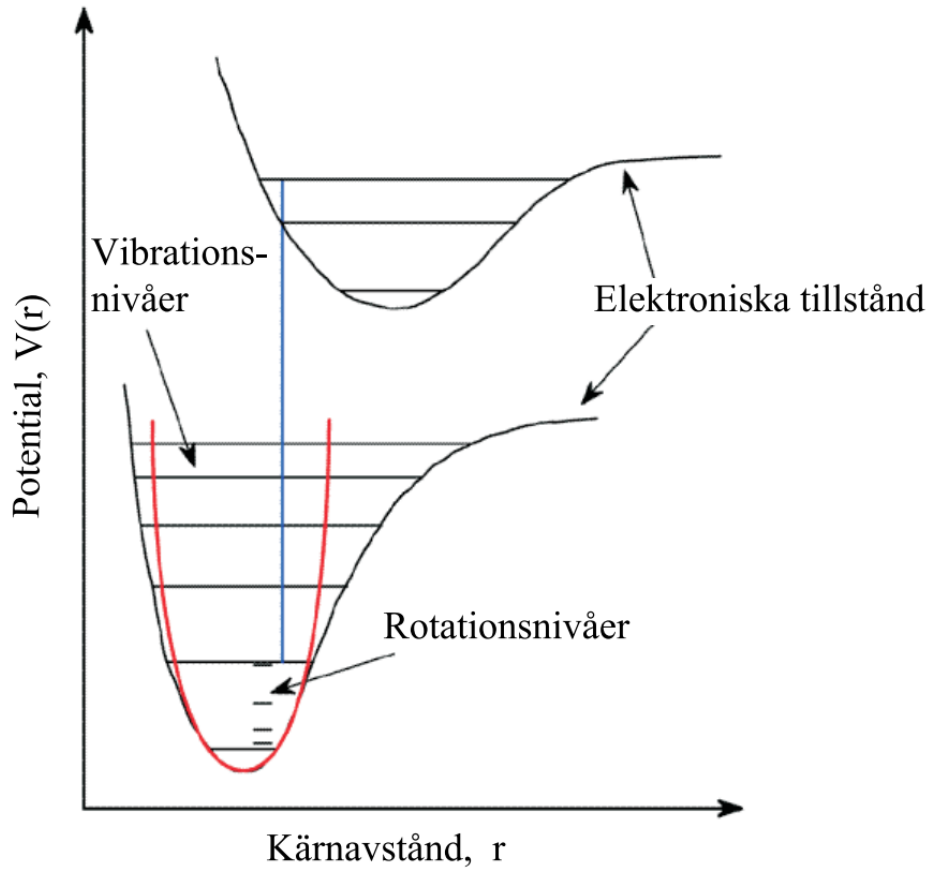
vilket är den tidsoberoende Schrödingerekvationen och är en egenvärdesekvation där E är egenenergierna till vågfunktionens egentillstånd. Denna teori ligger till grund för beskrivningen av rotationskvanttal som förklaras i Avsnitt 2.3.2.

2.3.2 Rotationskvanttal

Ljus som färdas med en viss våglängd har även en specifik energi. Atomer och molekyler kan absorbera dessa fotoner med specifika energier, för att hamna i elektroniskt exciterade tillstånd [15]. I Bohrs atommodell motsvarar detta att en elektron flyttas till ett högre skal [16]. När molekyler absorberar fotoner, uppstår dock även andra typer av excitationer [15]. Molekyler har nämligen fler frihetsgrader än atomer. Det medför att vibrations- och rotationsexcitationer kan uppstå. För molekyler finns alltså för varje elektronisk energinivå, en finare struktur bestående av vibrationstillstånd, som i sin tur innehåller rotationsnivåer. Den totala energin för molekylen kan därmed delas upp enligt

$$E = E_e + E_{vib} + E_{rot}, \quad (2.4)$$

där E är molekylen totala energi, E_e är energin från elektrontillståndet och E_{vib} och E_{rot} är energibidragen från vibrationer respektive rotationer [17]. Figur 2.2 visar schematiskt två olika elektroniska tillstånd för en diatomisk molekyl. Tillstånden beskrivs som potentialbrunnar vars minimum infaller vid jämviktsavståndet mellan de två atomerna [15]. De två elektrontillstånden delas även upp i olika vibrationsnivåer och rotationsnivåer. Notera att energin för rotationsövergångar är lägre än för både elektron- och vibrationsövergångar.



Figur 2.2: Två elektroniska tillstånd för en diatomisk molekyl. Graferna visar potentiella energin, $V(r)$, som funktion av avståndet, r , mellan kärnorna i den diatomiska molekylen [15].

En molekyls rotationsenergi beror på molekylens rotationskvanttal J [18]. För att studera hur rotationsenergin för en molekyl beror av rotationskvanttalet, studeras en diatomisk molekyl i detalj. Om den diatomiska molekylen består av två atomer A och B med massorna m_A och m_B som har ett konstant bindningsavstånd $r_0 = r_A + r_B$ och roterar runt en punkt C blir tröghetsmomentet runt denna punkt

$$I = \frac{m_1 m_2}{m_1 + m_2} r_0^2 = \mu r_0^2, \quad (2.5)$$

där μ är den reducerade massan [19]. Används nu Schrödingerekvationen, som beskrivs i Avsnitt 2.3.1, för att lösa ekvationen för den diatomiska molekylens rotationsenergier med tröghetsmomentet från Ekvation 2.5, erhålls uttrycket

$$E_J = \frac{\hbar^2}{2I} J(J+1), \quad (2.6)$$

där E_J är rotationsenergin för kvanttalet J och \hbar är Plancks konstant dividerad med 2π . Värdena J får anta är positiva heltal och således är enbart specifika diskreta energinivåer tillåtna. För varje given molekyl finns det därmed unika energinivåer specifika för den molekylen.

Om en elektron exciteras från grundtillståndet till en högre energinivå kommer en del av dess totala energi att komma från rotationsbidraget [15]. När elektronen sedan spontant återgår till ett lägre energitillstånd avges en foton med energin E som motsvarar skillnaden mellan det högre och det lägre energitillståndet. Energin E ges av $E = hf$ där h är Plancks konstant och f betecknar den emitterade fotonens frekvens [20].

2.3.3 Elektromagnetisk strålning

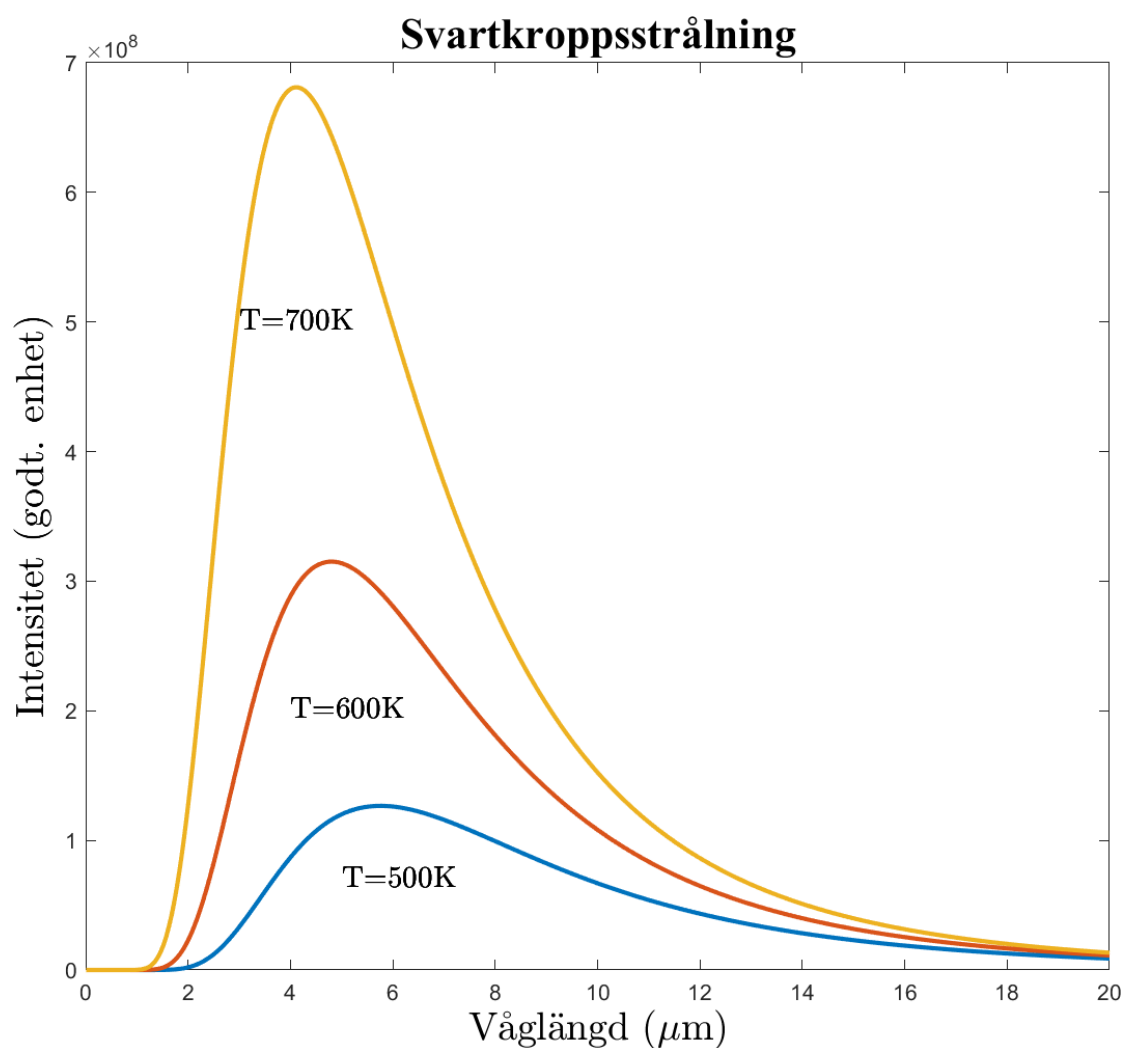
I projektet analyseras olika typer av elektromagnetiska spektrum. För att förstå rapporten krävs därmed en grundläggande förståelse för hur elektromagnetism och spektrum fungerar.

Elektriska fält uppstår kring stationära elektriska laddningar och om dessa laddningar rör på sig uppstår även ett magnetiskt fält [20]. Elektromagnetisk strålning uppkommer genom att det sker regelbundna förändringar i det elektriska och det magnetiska fältet. Denna strålning transporterar energi från en punkt till en annan och propagerar med ljusets hastighet. Energin hos strålningen beror linjärt på dess frekvens. Varje frekvens motsvarar även en specifik våglängd och för elektromagnetisk strålning ges förhållandet mellan dessa av $c = \lambda f$, där λ är våglängden och c är ljusets hastighet i vakuum.

Inom astronomin observeras det så kallade elektromagnetiska spektrumet från olika källor [21]. Hela spektrumet är uppsättningen av samtliga möjliga våglängder hos den elektromagnetiska strålningen. Strålning som människor kan uppfatta, synligt ljus, utgör endast en liten del av detta spektrum. Den absolut största delen av den elektromagnetiska strålningen är osynlig för människor. Olika delar av spektrumet har även olika namn. De vågor med kortast våglängd kallas gammastrålning. I ordning efter ökande våglängd följer sedan röntgenstrålning, ultraviolett ljus, synligt ljus, infrarött ljus, mikrovågor och radiovågor, vilka har längst våglängd.

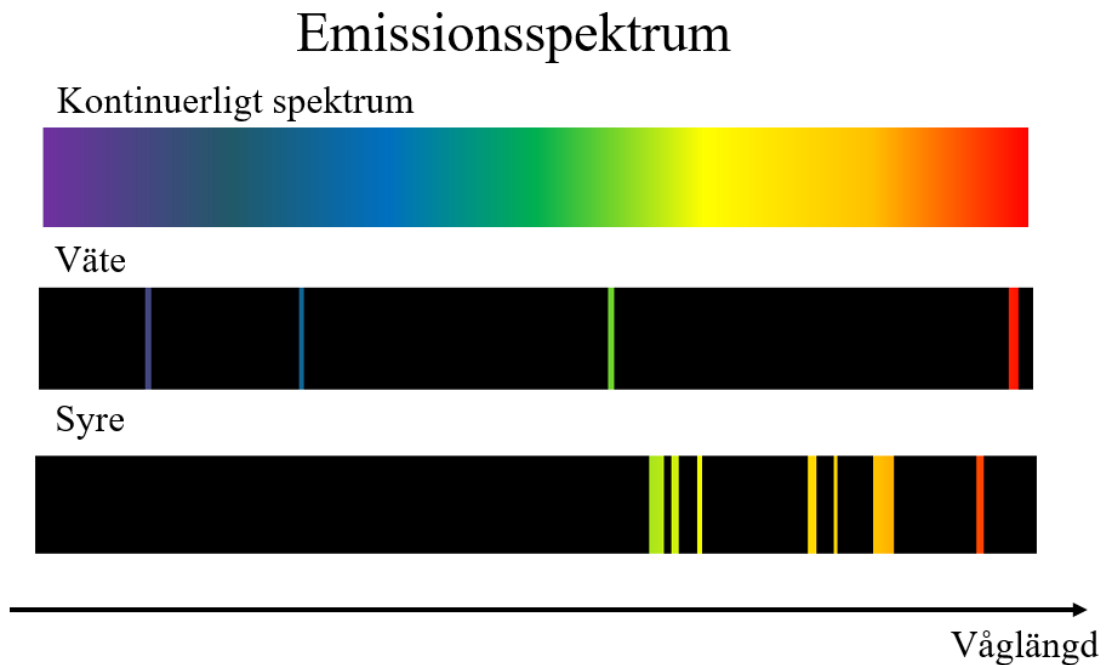
Emissionen från många astronomiska kroppar, inklusive stjärnor, kan approximeras med så kallad svartkroppsstrålning [21]. En svartkropp är ett idealt objekt som absorberar all strålning som träffar det. Objektet återemitterar sedan all energi

som den absorberat. Denna emission följer en karakteristisk fördelning som enbart beror av objektets temperatur. Dessutom beror positionen på intensitetens topp av temperaturen. Om temperaturen ökar, förskjuts toppen mot kortare våglängder och därmed blåare ljus. På samma sätt förskjuts toppen mot längre våglängder och därmed rödare ljus om temperaturen minskar. Detta förklarar varför stjärnor har olika färger. De svala stjärnorna upplevs vara röda medan de varma upplevs vara blåa. Figur 2.3 illustrerar svartkroppsstrålningen för olika temperaturer.



Figur 2.3: En illustration av svartkroppsstrålning för olika temperaturer (Hjält, 2022).

Diskreta emissionslinjer som observeras mot astronomiska objekt, som stjärnbildande områden, uppkommer när fotoner med en specifik våglängd avges då molekyler och atomer vid det astronomiska objektet övergår från ett kvantmekaniskt tillstånd till ett tillstånd med lägre energi [22]. Energin dessa fotoner har kan beräknas med Ekvation 2.6, men då dessa energier bara kan anta vissa specifika diskreta värden, förekommer emission enbart vid vissa specifika våglängder för en viss molekyl enligt Avsnitt 2.3.2. Således uppstår diskreta emissionsspektrum som är unika för varje molekyl då de övergångar som är tillåtna mellan olika energinivåer varierar mellan olika molekyler. Figur 2.4 illustrerar ett exempel på hur emissionsspektrum från olika atomer ser ut i jämförelse med det kontinuerliga spektrumet. Notera att spektrumen i figuren uppvisar det optiska våglängdsintervallet. För rotationsövergångar i molekyler är energiskillnaderna så små att emissionen istället sker i radiovågsintervallet, alltså vid längre våglängder.



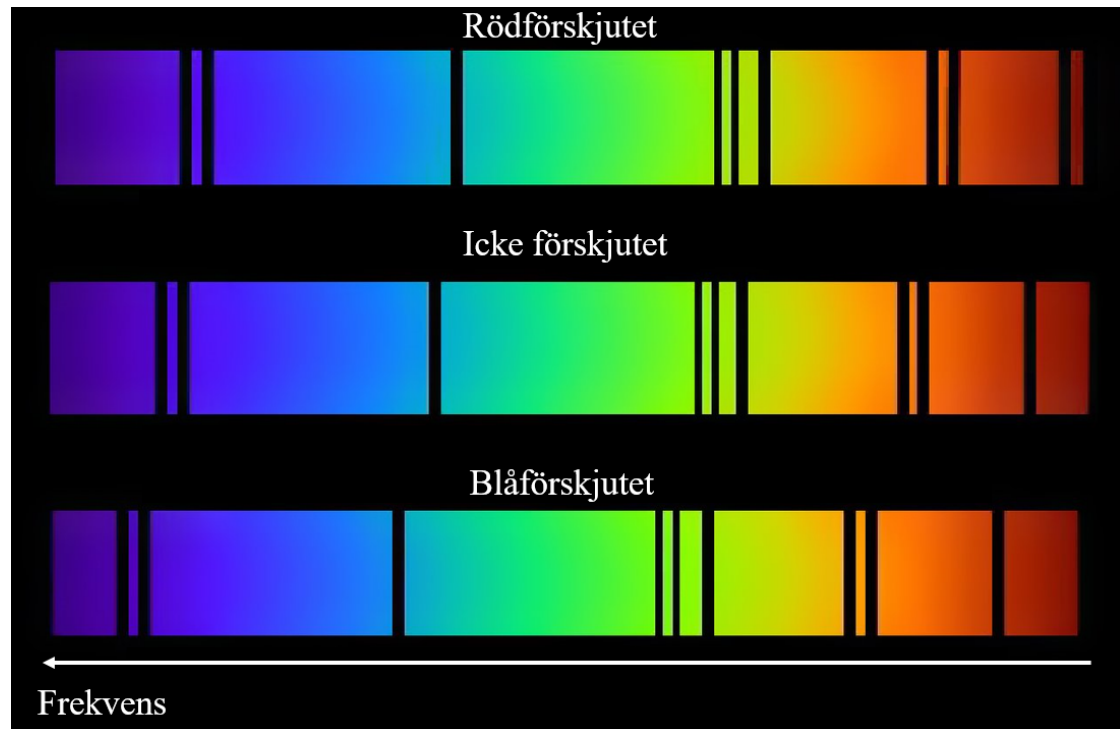
Figur 2.4: Illustration av emissionsspektrum i det optiska våglängdsintervallet. Den övre bilden visar det kontinuerliga spektrumet då ljuset inte emitteras från en specifik atom, medan de undre spektrummen visar emissionsspektrumet för väte respektive syre. För de två atomerna syns de diskreta emissionslinjerna (Hjält, 2022).

2.3.4 Dopplerförskjutning

Eftersom de astronomiska objekten som studeras med ett teleskop kan ha en rörelse i förhållande till teleskopet, kommer den emitterade frekvensen dopplerförskjutas. Formeln för dopplerförskjutning ges av

$$\frac{f_0}{f} = 1 + \frac{\Delta v}{c}, \quad (2.7)$$

där f är den observerade frekvensen, f_0 är den utsända frekvensen, c är ljusets hastighet och $\Delta v = v_s - v_r$, där v_s och v_r är källans respektive mottagarens hastighet relativt mediet [23]. Notera att Ekvation 2.7 gäller för $v_s \ll c$ och $v_r \ll c$. Vid mycket höga hastigheter behöver relativistiska aspekter tas hänsyn till. Figur 2.5 illustrerar hur absorptionslinjer röd- eller blåförskjuts, på grund av dopplereffekten, om den observerade källan rör sig ifrån eller mot observatören.



Figur 2.5: En illustration av hur absorptionslinjer kan röd- och blåförskjutas i ett spektrum på grund av dopplereffekten (ESO).

2.4 ALMA-teleskopet

För att kunna observera molekylära utflöden behövs högupplösta observationer på långa våglängder av mycket avlägsna objekt. För detta krävs väldigt kraftfulla teleskop. Ett sådant teleskop, och det som används i detta projekt, är ALMA-teleskopet i Chile. ALMA är världens största radioteleskop och har använts för observationer sedan 2011, men invigdes först 2013 då konstruktionen var klar [24]. Det ligger i Atacamaöknen i Chile och utgör ett samarbete mellan många olika länder över hela världen [25]. Det övergripande syftet med teleskopet är att studera stjärnbildning, molekylära moln och det tidiga universum [5]. Teleskopet utför observationer i våglängdsintervallet 0,32-3,6 mm vilket motsvarar frekvenser på 31-1000 GHz [26]. Hela teleskopet består av 66 stycken individuella antenner. Av dessa har 54 antenner en diameter på 12 m och de övriga 12 har en diameter på 7 m. Antennerna är utspridda med avstånd från 150 m upp till 16 km mellan de antenner som är längst ifrån varandra [27].

Genom att använda interferometri kan observationer från de olika antennerna kombineras och därmed emulera ett större teleskop [27]. Den effektiva diametern på det större teleskopet kommer då motsvara det längsta avståndet mellan två antenner. Genom denna metod blir ALMA-teleskopets upplösning mycket god. De individuella antennerna kan även placeras på olika avstånd och i olika konfigurationer för att erhålla olika vinkelupplösningar och därmed ändra hur magnifierad observationen blir [5]. Vinkelupplösningen θ ges av

$$\theta = 1,22 \frac{\lambda}{D}, \quad (2.8)$$

där λ är den observerade strålningens våglängd och D är teleskopets effektiva diameter [28]. Om den maximala effektiva diametern på ALMA-teleskopet används, det vill säga 16 km, blir vinkelupplösningen 0,004 bågsekunder enligt Ekvation 2.8 [29]. Med denna goda upplösning kan objekt som är mycket långt bort studeras. Med ALMA studeras bland annat hur de första galaxerna och stjärnorna bildades för miljarder år sedan [30]. Dessutom studeras processerna kring stjärn-, planet- och galaxbildning. Den komplexa kemin i gas- och stoftmolnen som styr bildningsprocesserna kan bättre förstås med ALMAs observationer.

När en uppsättning antenner ska kombineras till ett större teleskop genom interferometri så uppkommer ett problem. Strålning som lämnade det observerade objektet vid samma tidpunkt kommer träffa de olika antennerna vid olika tidpunkter [31]. Om signalen från de olika detektorerna kombineras rakt av, kommer det bli en röra av flera signaler vid olika tidpunkter. För att undvika detta används interferometri. När antennerna observerar objektet, noteras även tidpunkten för

observationen mycket noggrant. På detta sätt genereras, för varje antenn, en ström av data med unika tidsstämplar. Med hjälp av tidsstämplarna kan datan korreleras när den ska sammanställas från de olika antennerna. Matematiken för denna korrelering är dock komplicerad. För att interferometrin ska fungera behöver tidskillnaderna mellan varje par av antenner vara kända. För ALMA, som har 66 antenner, blir det 2 145 par [31]. Något som komplicerar problemet ytterligare är att jorden roterar medan observationen genomförs, vilket ändrar tidsskillnaderna mellan paren av antenner. För dessa beräkningar används en superdator med stor beräkningskraft.



Figur 2.6: Några av ALMA-teleskopets 66 antenner (ESO, 2013).

Den superdator som används för att korrelera data från antennerna är "*The ALMA Correlator*". Denna syftesspecifika superdator är en av de snabbaste superdatorerna i världen. Den kan utföra 17 biljarder (10^{15}) operationer per sekund, motsvarande 17 000 000 GHz, med dess fler än 134 miljoner processorer [32]. Denna extremt höga prestanda krävs för att kunna jämföra och lägga ihop datan från upp till 64 stycken antenner samtidigt. Vid inhämtning, korrelering och sammanställning av datan uppstår vissa oundvikliga felaktigheter [28]. Dessa kan visa sig i datan genom olika så kallade artefakter vilket försämrar kvaliteten på bilderna.

Efter processeringen med The ALMA Correlator lagras datan från observationerna i ALMAs arkiv som är baserat i Santiago, Chile och i ALMAs ARC:s (*ALMA Regional Centers*) i Europa, Östasien och Nordamerika [8]. Dessa ARC:s används sedan för att lagra datan och när forskare vill komma åt den finns den att tillgå via respektive ARC:s hemsida.

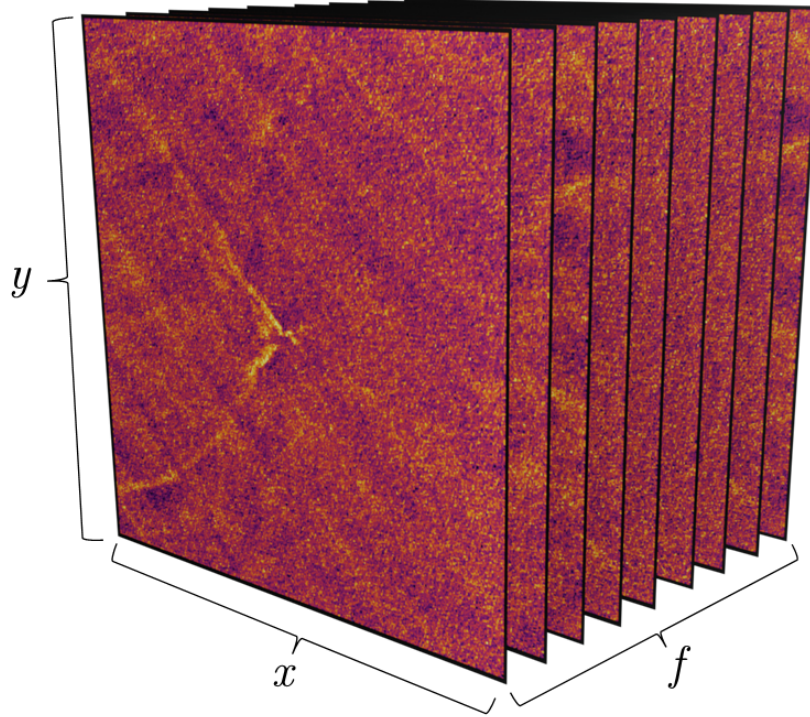
Eftersom observationstid hos ALMA är mycket efterfrågat, finns system för att tilldela den. En tiondel av observationstiden är reserverad för värdlandet, Chile [8]. Resten av tiden tilldelas övriga länder utefter deras monetära bidrag till ALMAs konstruktion. Alla länder avsätter dock en del av observationstiden till ”*Open Skies*”, vilket möjliggör för vilken astronom som helst att ansöka om observationstid.

En gång per år sker ansökan om observationstid [8]. Astronomer skickar då in ett förslag där de beskriver observationen, vad datan kommer vara användbar till samt hur mycket tid som observationen kräver. Förslagen granskas sedan av andra astronomer som beslutar vilka projekt som är mest intressanta, utifrån deras vetenskapliga värde. För att besluten ska vara så opartiska som möjligt, är förslagen som skickas in anonyma [33]. Då efterfrågan på observationstid är hög godkänns ungefär bara en femtedel av de förslag som skickas in [8]. Forskare från de utvalda projekten behöver inte själva resa till Chile för att utföra observationerna, utan de genomförs av anställda astronomer vid ALMA-teleskopet. Efter utförd observation kommer den eller de forskare som föreslog observationen att få exklusiv tillgång till datan under ett års tid. Därefter blir datan publik och finns tillgänglig på ALMAs öppna arkiv.

2.4.1 Dataprodukter från ALMA

Från ALMAs öppna arkiv kan många olika typer av dataprodukter hämtas, både rådata och olika former av kalibrerad och bearbetad data [34]. I detta projekt hanteras inte rådata utan endast bearbetad data i form av `.fits`-filer.

FITS (*Flexible Image Transport System*) är ett filformat som används inom astronomi. Filformatet hanterar både metadata om observationen och den producerade flerdimensionella datan [35]. Observationer inom astronomi görs över ett intervall av frekvenser, där bilder (data) inhämtas för varje frekvens. Detta resulterar i en så kallad datakub, illustrerad i Figur 2.7, med information, där de två första dimensionerna representerar spatiala koordinater och den tredje dimensionen representerar frekvens.



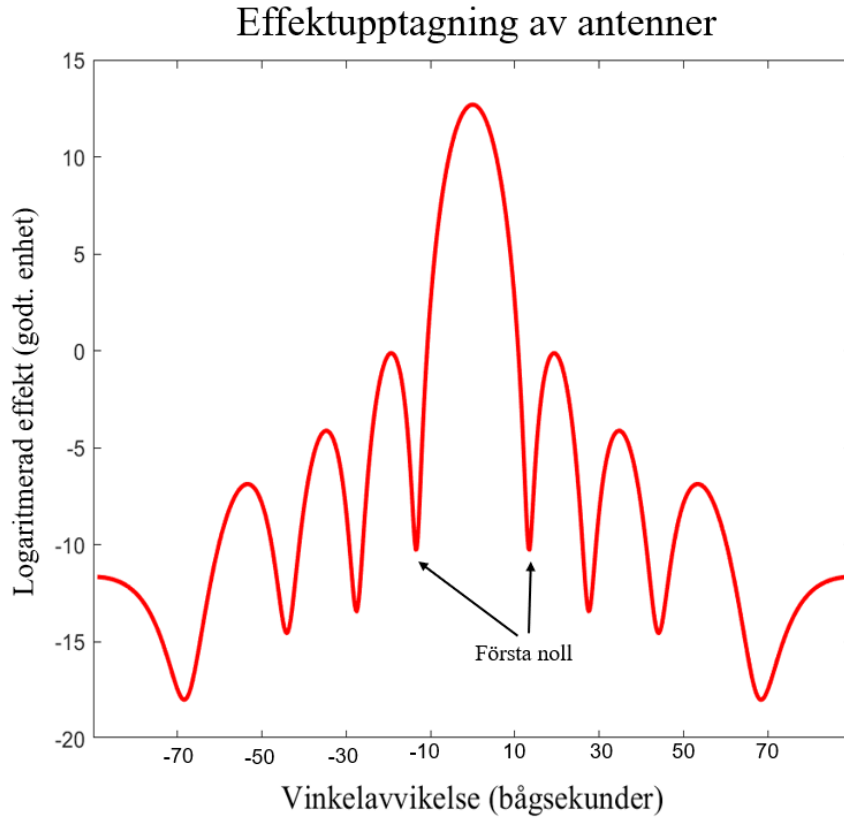
Figur 2.7: Visualisering av en datakub med emission från rotationsövergången ($2 \rightarrow 1$) för molekylen ^{12}CO från en observation av protostjärnan B335. x och y representerar spatiala axlar, medan f representerar frekvensen för varje skiva av kuben (Rosén, 2022).

Detta projekt hanterar två olika typer av data. Datakuber, som representerar molekylers emission, och kontinuumdata, vilket bland annat beskriver stoftfördelning. Denna kontinuumdata produceras av ALMA genom att observera över ett frekvensområde där emission inte förkommer, och sedan kollapsa datakuben genom en momentavbildning över hela frekvensområdet enligt Avsnitt 2.5 [34]. Att observera över ett frekvensområde utan emission är inte alltid trivialt och det kan kräva efterarbete att plocka bort frekvenser med emission för att få en klarare bild av stoftfördelningen.

2.4.1.1 Primary Beam Correction

Ett teleskop har inte en uniform upptagning över hela himlen. Det innebär att teleskopet fångar upp olika mycket strålning för olika vinklar. Figur 2.8 visar ett exempel på hur en endimensionell antenns effektupptagning varierar med vinkeln.

Effektupptagningen är högst i antennens riktning och avtar mot första noll (~ 14 bågsekunder i exemplet från Figur 2.8) enligt Ekvation 2.8. Den centrala parabeln kallas *primary beam* och står för majoriteten av all upptagning [28].



Figur 2.8: Effektupptagning för en idealiserad antenn, likformigt upplyst vid 150 GHz (Hjält, 2022).

Som tidigare nämnt använder ALMA flera antenner simultant för att utföra observationer. Datan från varje antenn sammanställs sedan genom interferometri [27]. Den data som ALMA producerar normalt genom interferometrin är en representation av himlen multiplicerat med *primary beam*-upptagningen av antennerna [28]. Denna data är användbar då den har en uniform brusnivå. För att få en astronomiskt korrekt bild av himlen måste dock denna *primary beam*-upptagning korrigeras för [28]. ALMA korrigerar för denna upptagning i dataprodukter benämnda `.pbcor` och detta projekt studerar enbart dessa korrigerade dataprodukter.

2.5 Momentavbildningar

Som beskrivet i Avsnitt 2.4.1 sparas observationsdata från ALMA som datakuber. Dessa datakuber kan ses som en samling tvådimensionella bilder där varje bild består av den detekterade strålningen vid en specifik frekvens. För att enklare analysera och visualisera dessa tredimensionella bilder, genereras momentavbildningar.

Momentavbildningar, eller integrerade intensitetskartor, är en metod som sammanställer information från datakuber till en tvådimensionell bild. Moment är en statistisk storhet [36], där det n -te momentet kring 0 av en funktion $f(x)$ är

$$M_n = \int_{-\infty}^{\infty} x^n f(x) dx.$$

Det 0-te momentet appliceras för att generera integrerade intensitetskartor över ett frekvensområde Ω genom

$$M_0 = \int_{\Omega} I_{\nu} d\nu, \quad (2.9)$$

där ν motsvarar frekvensen och I_{ν} intensiteten. Att applicera Ekvation 2.9 på en datakub över ett frekvensområde Ω ger en momentavbildning av ordning 0 (hädanefter bara momentavbildning).

2.6 Kurvanpassning

Data insamlad från observationer innehåller brus och artefakter till följd av bland annat begränsad upplösning och felkällor från interferometrin. För att utföra en matematisk analys av datan utnyttjas kurvanpassning. Kurvanpassning innebär att anpassa en kurva, vilken representeras av en funktion med parametrar, till data så att skillnaden mellan kurvan och datapunkterna är minimerad. Detta blir ett optimeringsproblem där parametrarna för den optimala kurvan sökes.

En av de vanligaste metoderna för att hitta dessa parametrar är *minsta kvadratmetoden* [37]. I minsta kvadratmetoden är kostnadsfunktionen summan av de kvadrerade avvikelserna i y -led från varje datapunkt till kurvan. Alltså är problemet att minimera

$$C = \sum_{i=1}^N (f(x_i) - y_i)^2,$$

där (x_i, y_i) är datapunkter och $f(x) = c_1 f_1(x) + \dots + c_m f_m(x)$ är funktionen som beskriver kurvan och där vektorn $\mathbf{c} = [c_1 \dots c_m]^T$ är funktionens parametrar. Detta

problem kan lösas analytiskt genom att studera lösningen till normalekvationen

$$A^T A \mathbf{c} = A^T \mathbf{y},$$

där A är designmatrisen

$$A = \begin{bmatrix} f_1(x_1) & \cdots & f_m(x_1) \\ \vdots & \ddots & \vdots \\ f_1(x_n) & \cdots & f_m(x_n) \end{bmatrix},$$

och $\mathbf{y} = [y_1 \dots y_n]^T$.

Vilken funktion som anpassas beror på problemet och kräver en analys, både kring vilka typer av funktioner (polynom, exponentiella funktioner etc.) och hur detaljerade (antal parametrar, exempelvis grad på polynom). Anpassas en funktion med för många parametrar finns risk för överanpassning, det vill säga att kurvan blir komplex och opålitlig [38]. Anpassas istället en funktion med för få parametrar finns istället risk för underanpassning, att kurvan blir för simpel och missar det väsentliga.

2.6.1 Gauss-funktioner

Många fysiska system går att beskriva med hjälp av normalfördelningar [39]. En skalad *Gauss-funktion* beskriver täthetsfunktionen för en normalfördelad slumpvariabel [40]. Därmed är Gauss-funktionen en användbar funktion att anpassa till data från fysikaliska observationer. Den generella endimensionella Gauss-funktionen kan uttryckas

$$f(x) = a \exp\left(-\frac{(x-b)^2}{2c^2}\right), \quad (2.10)$$

för de reella parametrarna a, b och c .

Gauss-funktionen kan även uttryckas i två dimensioner där nivåkurvorna tar formen av ellipser. Denna beskrivs av,

$$f(x, y) = A \exp\left(-\left(a(x-x_0)^2 + 2b(x-x_0)(y-y_0) + c(y-y_0)^2\right)\right), \quad (2.11)$$

där A är amplituden och (x_0, y_0) är koordinaten för funktionens maximum, alltså

mittpunkten [41]. Sätts parametrarna a, b och c som

$$\begin{aligned}a &= \frac{\cos^2 \theta}{2\sigma_X^2} + \frac{\sin^2 \theta}{2\sigma_Y^2}, \\b &= -\frac{\sin 2\theta}{4\sigma_X^2} + \frac{\sin 2\theta}{4\sigma_Y^2}, \\c &= \frac{\sin^2 \theta}{2\sigma_X^2} + \frac{\cos^2 \theta}{2\sigma_Y^2},\end{aligned}$$

kan även utbredningen och rotationen av funktionen beskrivas genom σ_X och σ_Y respektive θ .

3

Metod

Nedan följer beskrivningar av metoder som används i projektet. Dessa är till största del redskap och tillvägagångssätt för att hämta, bearbeta och analysera datan från ALMA-arkivet. För koden till de metoder som utvecklats, se Bilaga C, Bilaga D och Bilaga E.

3.1 Filtrering och nedladdning av observationer

Hela ALMA-arkivet består av ~56 000 observationer och en stor mängd lagrad data som årligen ökar med ~500 TB [34]. En del av dessa observationer innehåller protoplanetära skivor med molekyllära utflöden. Att analysera alla observationer för att hitta de med molekyllära utflöden är både tids- och lagringsineffektivt. Dock innehåller alla observationer en mängd information, exempelvis nyckelord, som kan användas för att sortera fram de observationer som potentiellt innehåller utflöden.

För att hämta och filtrera observationer används *ALminer*, ett Python-baserat bibliotek för att hämta, visualisera och analysera data från ALMA-arkivet [42]. Det första steget i filtreringen är att genom funktionen `alminer.keysearch()` filtrera på de nyckelord som primärt har med molekyllära utflöden och protostjärnor att göra. De utvalda nyckelorden är:

- Outflows, jets and ionized winds.
- Low-mass star formation.
- Intermediate-mass star formation.
- High-mass star formation.
- Disks around low-mass stars.
- Disks around high-mass stars.

Eftersom ALMA införde en ny konvention för filnamngivning i slutet av 2015, filtreras observationer som gjordes innan dess bort [43]. Detta förenklar upptäckandet av filer som är viktiga vid analys. För att öka sannolikheten att erhålla detaljrik

data för analys filtreras observationer med avseende på vinkelupplösning. En observations vinkelupplösning beskriver den minsta vinkeln mellan två särskiljbara objekt, och är alltså ett mått på förmågan att särskilja detaljer. Observationer som har en sämre vinkelupplösning än 0,4 bågsekunder filtreras bort eftersom detaljer riskeras att förloras vid sämre vinkelupplösning.

Observationerna filtreras även utifrån vilka frekvensintervall som observeras, detta för att erhålla observationer innehållande specifika molekylära rotationsövergångar. Frekvenser för rotationsövergångar av molekyler som är vanligt förekommande i observationer av utflöden valdes ut och presenteras i Tabell A.1 i Bilaga A.

Till sist, i samband med att observationerna laddas ner, filtreras de även efter filnamn. Detta genomförs med *ALminer*-funktionen `alminer.download_data()` som laddar ned observationsdata. Funktionen kan filtrera bort data vars filnamn inte innehåller vissa delsträngar. Övergripande krävs att filerna är `.fits`-filer, som beskrivet i Avsnitt 2.4.1, samt att de innehåller `_sci` vilket innebär att observationen inte är gjord i kalibreringssyfte [44]. I första delen av analysen filtreras kontinuumfiler fram, vilket säkerställs genom att filnamnet innehåller `.cont`. Identifieras en protoplanetär skiva i kontinuumfilen, som beskrivet i Avsnitt 3.2.1, filtreras även datakuber fram genom att kräva `.cube`.

Alla dessa filtreringar leder till beslutsträdet som presenteras i Figur 4.1 i Avsnitt 4.1.

3.2 Generera momentavbildningar

Från ALMA-arkivet hämtas, som beskrivet i Avsnitt 2.4.1, två olika typer av data, tvådimensionell kontinuumdata och tredimensionella datakuber. För att enklare analysera och visualisera de tredimensionella bilderna, genereras momentavbildningar beskrivna i Avsnitt 2.5.

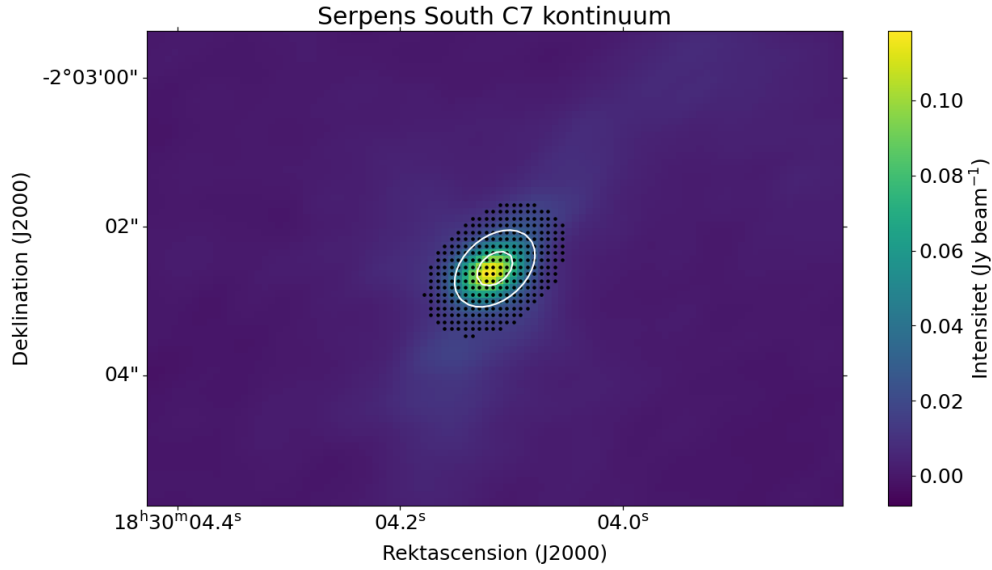
Varje datakub spannar över ett omfång av frekvenser. För att utvinna värdefull information om molekylemissionen krävs att frekvensområdena, Ω i Ekvation 2.9, väljs med omsorg. På grund av att de observerade objekten har en relativ rörelse gentemot teleskopet, dopplerförskjuts den emitterade strålningen enligt Ekvation 2.7. Denna dopplerförskjutning ger upphov till att molekylernas rotationsövergångar inträffar vid olika observerade frekvenser beroende på den relativa hastigheten. Genom att undersöka frekvensintervallen för de röd- respektive blåförskjutna frekvenserna separat framhävs respektive emission, relativt brus minskas och mer information kan utvinnas.

Utöver uppdelningen i blåförskjutna och rödförskjutna frekvensintervall förväntas emissionen från en specifik rotationsövergång vara samlad i ett visst område av det observerade frekvensintervallet. De slutliga bilderna förbättras ytterligare genom att begränsa intervallen som används i Ekvation 2.9 till dessa delar av frekvensintervallet. För att hitta dessa intervall analyseras datakubernas frekvensprofil, vilket är en graf över den genomsnittliga intensiteten för varje frekvens i ett visst område. Detta illustreras i Figur 3.2. För att studera bipolära utflöden är detta område lämpligtvis en viss area kring skivan eftersom utflödena strömmar från skivan. Genom att använda ett område som innesluter skivan kan eventuell emission detekteras i alla riktningar, därmed kommer både blå- och rödförskjuten emission återfinnas i området.

Frekvensprofiler runt skivans centrum från data med utflöden tenderar att uppvisa en viss kännetecknande form, med två lokala maximum skilt av ett minimum. De två maximumen svarar mot intensiteten från rotationsövergången för den röd- respektive blåförskjutna emissionen medan minimumet motsvarar absorption där emission har samma centrala hastighet som objektet, relativt teleskopet. Genom att studera grafens inflektionspunkter kan lämpliga frekvensområden för momentavbildningar utvinnas. Data med frekvensprofiler som inte är på denna form, som till exempel datan presenterad i Figur 3.3a, förkastas.

3.2.1 Identifiering och lokalisering av protoplanetära skivor

De relevanta utflödena för detta projekt är alltid associerade med protoplanetära skivor och skivans position är vital vid framtagandet av frekvensprofiler. Därmed är det första steget i analysen att identifiera och lokalisera den eventuella protoplanetära skivans spatiala position och utbredning. Den protoplanetära skivan är svår att lokalisera i datakuberna men i den tvådimensionella kontinuumdatan är skivan mer prominent. För att beskriva skivans position och utbredning anpassas en tvådimensionell Gauss-funktion till kontinuumdatan enligt Ekvation 2.11. Denna anpassning görs numeriskt med hjälp av Python-paketet *SciPy* [45]. Metoden `scipy.optimize.curve_fit()` appliceras, vilken anpassar Ekvation 2.11 till stoftdatan genom en icke-linjär minstakvadratmetod. Identifieras ingen skiva förkastas observationen i analysen. Figur 3.1 visar resultatet av denna anpassning för en observation av Klass 0-källan CARMA-7 (C7) i stjärnklustret Serpens South.

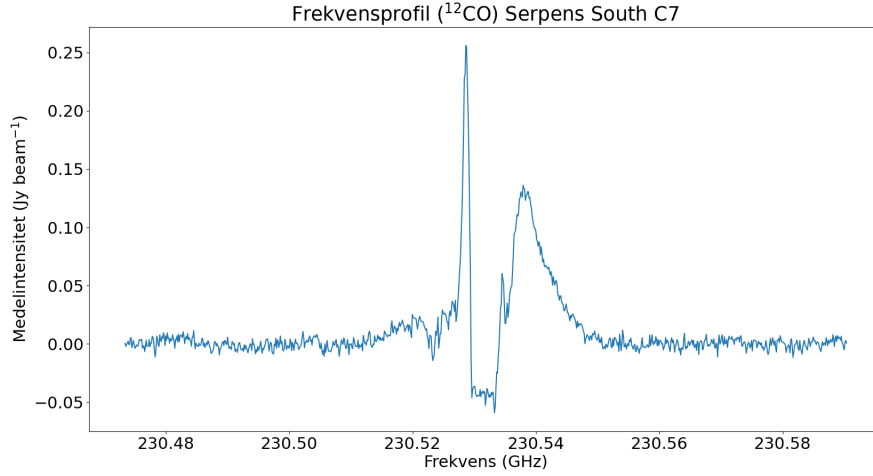


Figur 3.1: Kontinuumdata från Klass 0-källan CARMA-7 (C7) i stjärnklustret Serpens South. De vita konturerna motsvarar nivåkurvor till den anpassade Gauss-funktionen. De svarta prickarna motsvarar de spatiala koordinater som utgör området från vilket datakubernas frekvensprofil tas fram.

3.2.2 Analys av frekvensprofiler

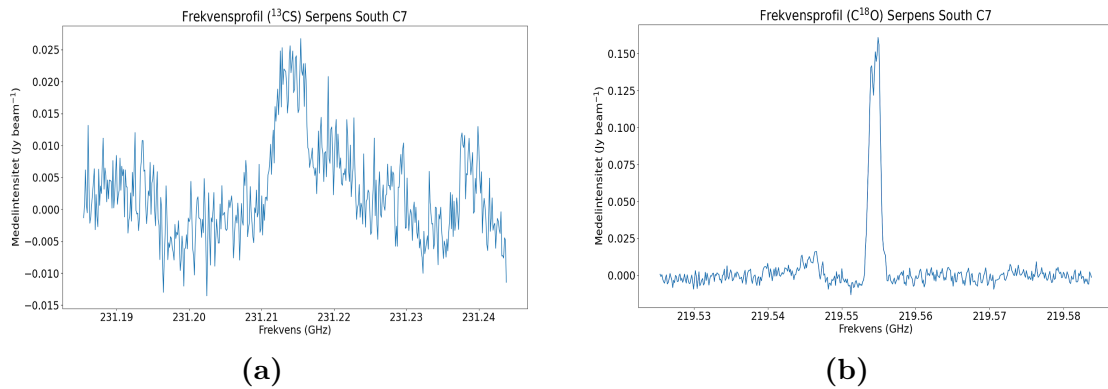
Från den anpassade Gauss-funktionen erhålls skivans spatiala position, utbredning och vinkel. Med den informationen bestäms ett område från vilket datakubernas frekvensprofil tas fram. Detta genom att välja ut alla koordinater där värdet på den anpassade Gauss-funktionen är högre än 10% av amplituden. Medelintensiteten i detta område beräknas för varje frekvens vilket ger en frekvensprofil. I Figur 3.2 visas den genererade frekvensprofilen för rotationsövergången ($2 \rightarrow 1$) för molekylen ^{12}CO från en observation av Klass 0-källan CARMA-7 (C7) i stjärnklustret Serpens South. Den tidigare nämnda formen med två lokala maxima skiljt av ett minima framgår tydligt, vilket starkt tyder på ett utflöde.

3. Metod



Figur 3.2: Frekvensprofil för rotationsövergången ($2 \rightarrow 1$) för molekylen ^{12}CO kring Klass 0-källan CARMA-7 (C7) i stjärnklustret Serpens South.

Utseendet på frekvensprofilen varierar från datakub till datakub, beroende på till exempel utflödets intensitet, utbredning och existens. Figur 3.3a och Figur 3.3b visar två andra frekvensprofiler genererade från andra molekyler i samma observation. Figur 3.3a visar ($5 \rightarrow 4$)-övergången för ^{13}CS . Denna profil uppvisar inte den beskrivna karaktäristiska formen som tydligt kännetecknar utflöden. För ($2 \rightarrow 1$)-övergången av C^{18}O i Figur 3.3b är det svårare att avgöra och ytterligare analys krävs.



Figur 3.3: I (a) visas frekvensprofilen för rotationsövergången ($5 \rightarrow 4$) i ^{13}CS . I (b) visas frekvensprofilen för övergången ($2 \rightarrow 1$) i C^{18}O . Båda frekvensprofilerna är för Klass 0-källan CARMA-7 (C7) i stjärnklustret Serpens South.

När frekvensprofilerna är framtagna klassificeras och analyseras dessa. Målet är att filtrera bort de fall som inte uppvisar den karaktäristiska formen, samt att från den karaktäristiska formen identifiera de relevanta områdena Ω att generera momentavbildningar över.

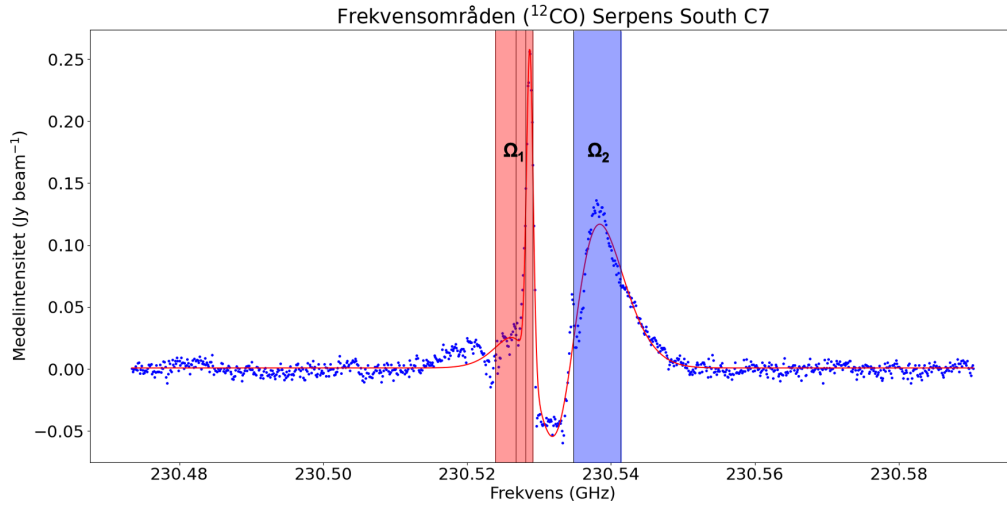
Ett första steg i denna klassifikation är att beräkna det kvadratiske medelvärdet (*root mean square*) över frekvensprofilen, vilket ges av

$$\nu_{\text{rms}} = \frac{1}{\sqrt{n}} \sqrt{\nu_1^2 + \nu_2^2 + \dots + \nu_n^2}. \quad (3.1)$$

Det kvadratiske medelvärdet appliceras för att identifiera profiler utan tydlig emission, genom att studera andelen intensiteter större än $3\nu_{\text{rms}}$. Finns det inga eller få intensiteter större än $3\nu_{\text{rms}}$, finns troligen ingen emission.

Nästa steg är att försöka anpassa endimensionella Gauss-kurvor till profilen. Den karaktäristiska formen kan representeras som en summa av två eller tre Gauss-kurvor. Identifieras ett minimum med negativ intensitet, som i Figur 3.2, anpassas tre Gauss-kurvor, varav två med positiv amplitud, a i Ekvation 2.10, och en med negativ. Identifieras istället ett minimum med positiv intensitet, som i Figur 3.3b, anpassas två Gauss-kurvor med positiv amplitud. *SciPy*-metoden `scipy.optimize.curve_fit()` används sedan för att numeriskt anpassa summan av dessa Gauss-funktioner till frekvensprofilen [45]. Anpassningen är känslig för vilka startvärden optimeringen utgår ifrån och en metod som anpassar en enstaka Gauss-kurva används för att generera lämpliga startvärden. Lyckas inte metoden anpassa Gauss-funktionerna till datan eller om den genomsnittliga kvadratiske avvikelsen är för stor, anses den karaktäristiska formen ej vara uppfylld.

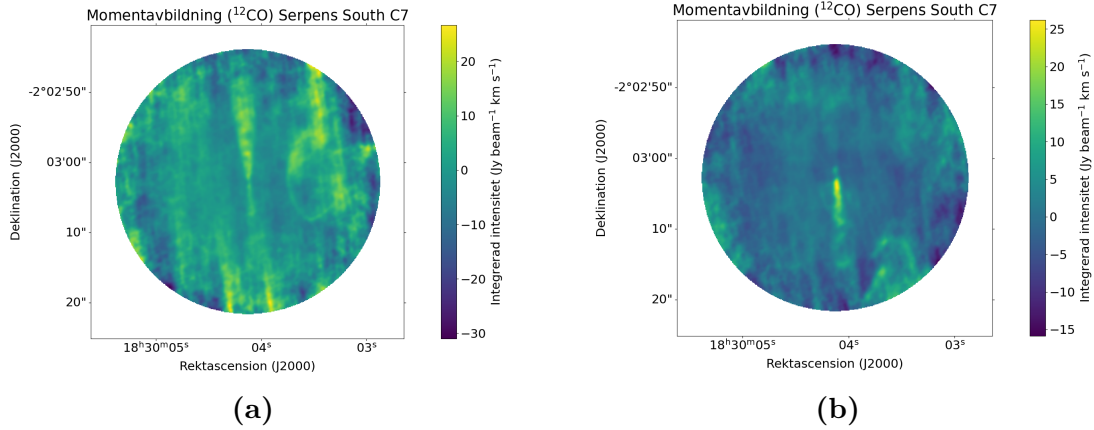
Efter att frekvensprofiler utan den karaktäristiska formen har förkastats återstår att ta fram relevanta områden Ω att generera momentavbildningar över. Genom att analysera de anpassade Gauss-kurvornas inflektionspunkter, det vill säga punkterna där andraderivatan byter tecken, kan dessa områden hittas. Med hjälp av dessa kan profilen delas upp i relevanta områden. Områdena delas upp genom att mellan de två största maximumen hitta det lägsta minimumet, vilket för den karaktäristiska formen utgör absorptionen och brytpunkten mellan röd- och blåförskjuten emission. Intervallen blir sedan, för vardera sida, området mellan de inflektionspunkter belägna vid lägst respektive högst frekvens. Detta illustreras i Figur 3.4. Intervallen som framtages med denna metod är inte nödvändigtvis optimala, till exempel saknas i Figur 3.4 en del av den blåförskjutna emissionen med högre frekvens. De genererade intervallen ger dock en bra utgångspunkt för analys av utflödets morfologi.



Figur 3.4: Anpassad Gauss-funktion med utritade inflektionspunkter. De blåa punkterna är frekvensprofilen för rotationsövergången ($2 \rightarrow 1$) för molekylen ^{12}CO kring Klass 0-källan CARMA-7 (C7) i stjärnklustret Serpens South. Den röda kurvan är den anpassade Gauss-funktionen och de svarta linjerna markerar inflektionspunkter. Ω_1 och Ω_2 representerar de framtagna områdena för röd- respektive blåförskjutna frekvenser.

3.2.3 Generera momentavbildningar

Med de områden som tas fram enligt Avsnitt 3.2.2 kan intensiteten integreras upp och momentavbildningar genereras enligt Ekvation 2.9. Figur 3.5a visar momentavbildningen över det rödförskjutna frekvensområdet Ω_1 från Figur 3.4 medan Figur 3.5b visar momentavbildningen över det blåförskjutna frekvensområdet Ω_2 från samma figur. Figurerna visar ett tydligt utflöde av molekylen ^{12}CO från den protoplanetära skivan.



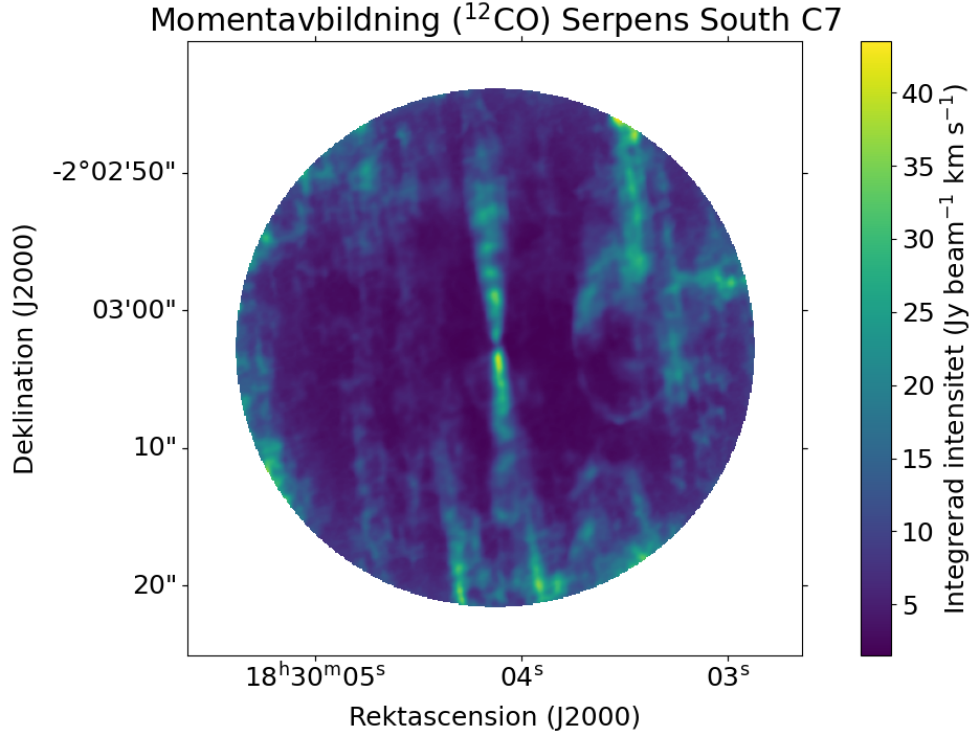
Figur 3.5: I (a) visas momentavbildningen för den rödförskjutna emissionen och i (b) visas momentavbildningen för den blåförskjutna emissionen från rotationsövergången ($2 \rightarrow 1$) för molekylerna ^{12}CO kring Klass 0-källan CARMA-7 (C7) i stjärnklustret Serpens South.

3.2.4 Alternativa metoder för att generera momentavbildningar

Den metoden för att generera momentavbildningar som beskrivs i Avsnitt 3.2 är inte kapabel att hitta alla utflöden, på grund av de gjorda antagandena. Kurvanpassningar kan misslyckas även när emission är förekommande, bland annat på grund av data med avvikande form och instabilitet till följd av dåliga initialvärden. Med detta som grund har två andra alternativa metoder för att generera momentavbildningar utforskats.

3.2.4.1 Maximummetoden

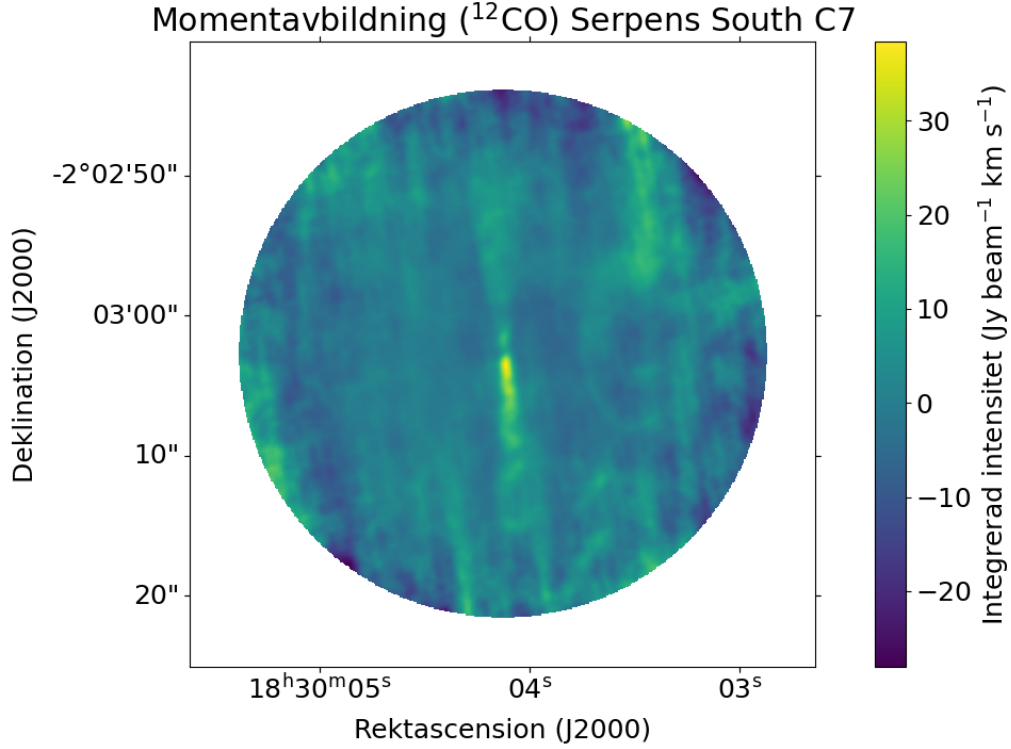
Målet med den ursprungliga metoden är att separera ut frekvenser där emission förekommer, det vill säga frekvenser med högst intensitet i utflödet. Ett alternativt tillvägagångssätt är att istället, för varje koordinat (pixel), summera ihop de till exempel 10% högsta intensiteterna. Detta under antagandet att intensiteterna från utflödet är högre än brusnivån. Tekniskt sett är detta inte en momentavbildning, då det integreras över olika frekvensområden för olika koordinater, men det fyller samma syfte för projektets ändamål. En begränsning med denna metod är att man inte separerar de blå- och rödförskjutna frekvenserna, vilket kan vara viktig information i en analys av momentavbildningar. Figur 3.6 visar den resulterande momentavbildningen från maximummetoden på rotationsövergången ($2 \rightarrow 1$) för molekylerna ^{12}CO kring Klass 0-källan CARMA-7 (C7) i stjärnklustret Serpens South.



Figur 3.6: Momentavbildning med maximummetoden för rotationsövergången ($2 \rightarrow 1$) för molekylen ^{12}CO kring Klass 0-källan CARMA-7 (C7) i stjärnklustret Serpens South.

3.2.4.2 RMS-metoden

RMS-metoden syftar att använda den analys av kvadratiska medelvärden beskrivet i Ekvation 3.1. Istället för att använda de kvadratiska medelvärdena som ett sätt att filtrera bort data utan den karaktäristiska formen används de här för att direkt välja ut frekvenser till momentavbildningen. Detta genom att generera en momentavbildning över de frekvenser som har en högre intensitet än $C\nu_{\text{rms}}$, med lämplig konstant C . Denna metod har samma begränsning som maximummetoden i att den inte separerar röd- och blåförskjutna frekvenser. Figur 3.7 visar den resulterande momentavbildningen från RMS-metoden på rotationsövergången ($2 \rightarrow 1$) för molekylen ^{12}CO kring Klass 0-källan CARMA-7 (C7) i stjärnklustret Serpens South.



Figur 3.7: Momentavbildning med RMS-metoden för rotationsövergången ($2 \rightarrow 1$) för molekylen ^{12}CO kring Klass 0-källan CARMA-7 (C7) i stjärnklustret Serpens South.

3.3 Identifiering av utflöden

För identifiering och karakterisering av utflöden från de momentavbildningar som genererats har två primära metoder utforskats. Dessa är:

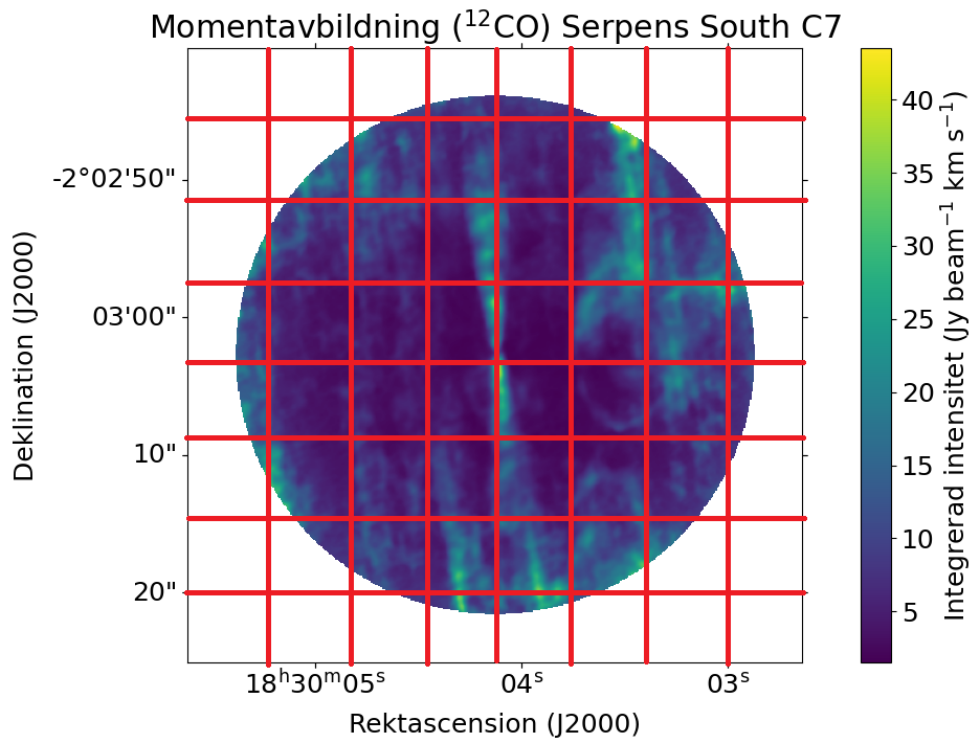
1. Identifiering av utflödets vinkel via konturkartor.
2. Identifiering av utflödets vinkel via summerad intensitet i ett vinkelomfång.

3.3.1 Beräkning av brusnivå

Något som ligger till grund för båda metoderna som används för identifiering av utflödesvinklar är ett värde på brusnivån σ . Eftersom detta inte är något som explicit anges i datan utvecklades en egen metod för att approximera denna. I detta projekt används enbart *primary beam*-korrigerad data, se Avsnitt 2.4.1.1, som inte har en spatialt uniform brusnivå. Att brusnivån inte är uniform leder till ökad komplexitet och bestämmandet av brusets fördelning blir inte trivialt. Istället be-

räknas en undre gräns på brusnivån och den icke-uniforma fördelningen hanteras från fall till fall.

Den metod som använts inom detta projekt baseras på att dela upp momentavbildningen i ett rutnät och beräkna det kvadratiske medelvärdet av intensiteten för varje ruta varav det lägsta av dessa används som brusnivån σ . För att bestämma hur rutnätet ser ut tar funktionen en parameter `partitions` som anger till vilken grad indelningen ska ske, exempelvis ger ett `partitions`-värde på 8 ett rutnät som är 8 rutor brett, och 8 rutor högt, se Figur 3.8. Notera att 8 var ett godtyckligt exempel, oftast har ett högre `Partitions`-värde använts.

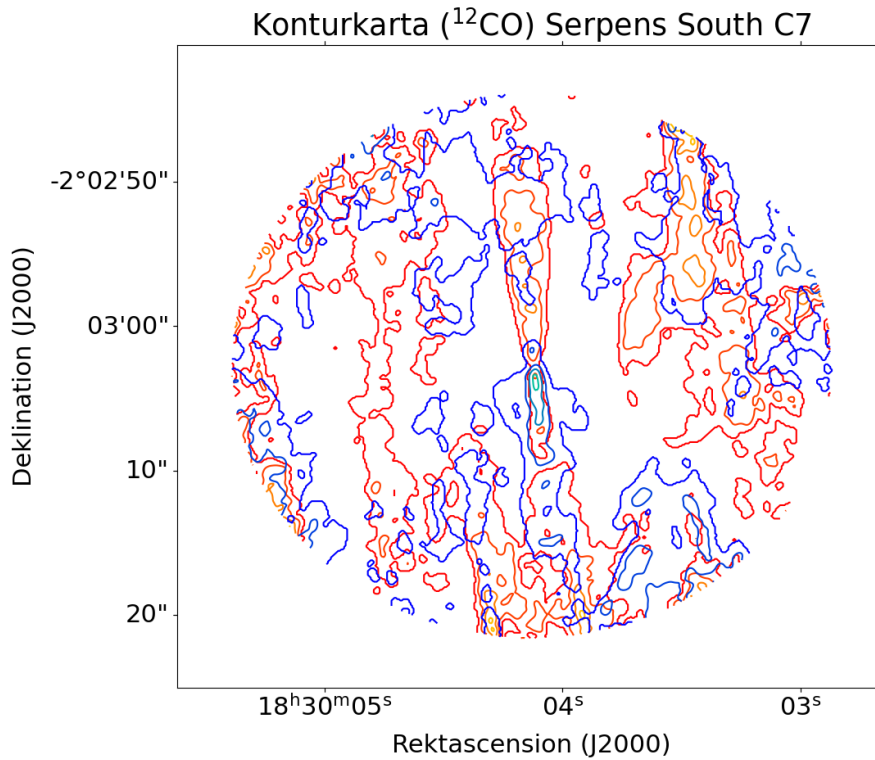


Figur 3.8: Momentavbildning från Figur 3.6 uppdelad i ett rutnät för brusberäkning med `partitions=8`.

3.3.2 Identifiering av utflödets vinkel via konturkartor

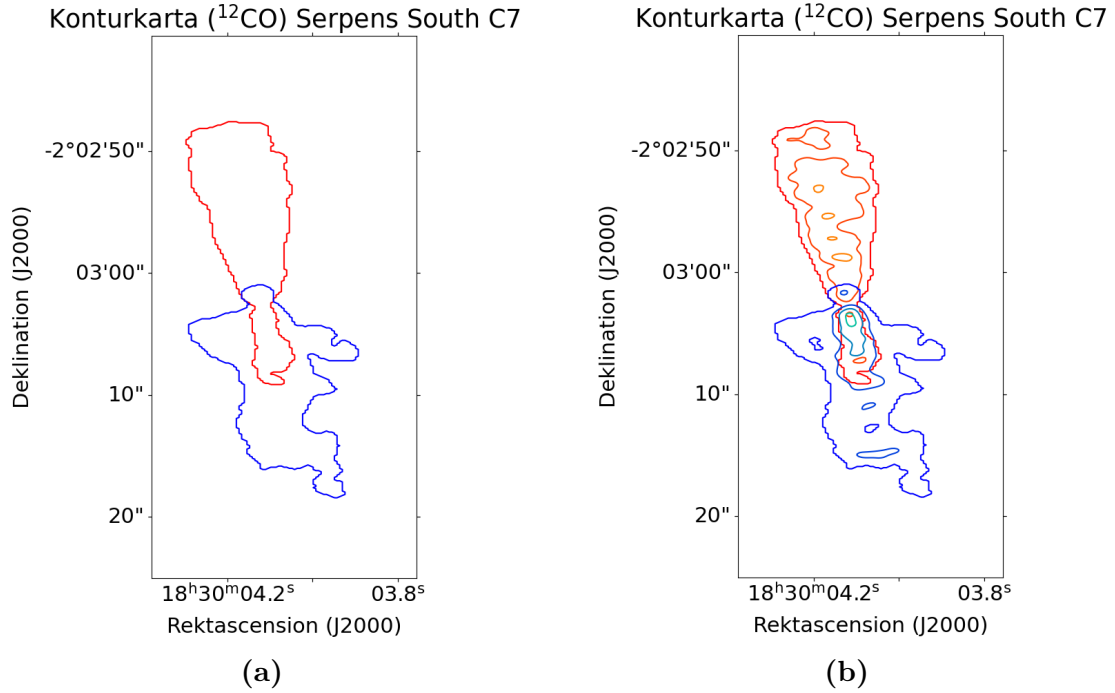
Inom astronomi används ofta konturkartor för att representera momentavbildningar. Konturer är i detta sammanhang nivåkurvor där alla punkter på kurvan har samma intensitet. Dessa ritas upp för några olika intensiteter, oftast några olika multiplar av brusnivån σ .

Brusnivån σ beräknas med metoden beskriven i Avsnitt 3.3.1. Konturkartor genereras sedan genom *Matplotlib*-funktionen `matplotlib.pyplot.contour()` för olika multiplar $C = [c_1, c_2, \dots, c_n]$ av σ [46]. Dessa konturer innefattar inte nödvändigtvis bara utflöden utan kan även hamna runt brus och artefakter, se Figur 3.9, något som blir extra märkbart eftersom brusnivån inte är uniform. Därför bearbetas konturerna för att minska påverkan av brus och artefakter.



Figur 3.9: Sammanslagen konturkarta av momentavbildningarna från Figur 3.5. De blåaktiga konturerna motsvarar bidrag från den blåförskjutna emissionen och de rödaktiga från den rödförskjutna.

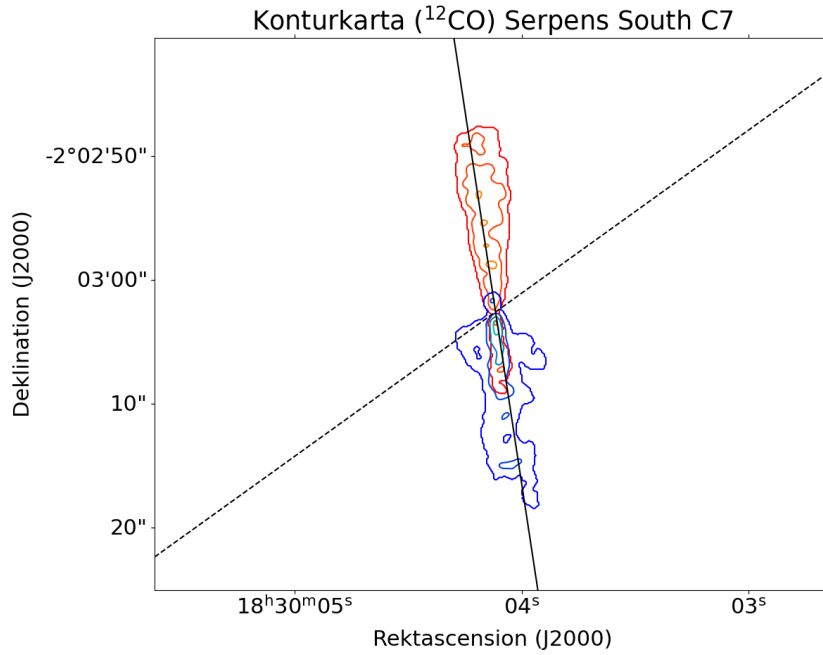
Under antagandet att någon av konturerna som representerar utflödet går runt den protoplanetära skivans centrum kan konturkartan förfinas till att enbart innehålla konturer från utflöden. Detta genom att först använda en algoritm för att identifiera konturer som går runt skivans centrum och därefter på samma sätt hitta de konturer som innesluts av de identifierade konturerna. Denna process visas i Figur 3.10.



Figur 3.10: I (a) visas det första steget där alla konturer i Figur 3.9 som inte går runt skivans centrum förkastats. I (b) har de inre konturer som i (a) förkastades återfått.

Med de förfinade konturerna anpassas sedan en rät linje genom konturerna för att bestämma vinkeln på utflödet. Detta genomförs som innan numeriskt med SciPy [45]. Här viktas datapunkterna med intensiteten, alltså med nivån på konturen. Vinkeln på denna linje jämförs sedan med den protoplanetära skivans vinkel, som bestäms i Avsnitt 3.2.1, för att få utflödets vinkel relativt skivan. Detta visas i Figur 3.11.

Nackdelen med denna metod är antagandet att konturerna går runt centrum, vilket inte alltid är fallet. Ytterligare en begränsning är valet av konturnivåer C , då detta får stor betydelse för konturernas utbredning. Om en betydlig mängd brus återfinns över konturnivåerna kan bruset återspeglas i resultatet. Detta är extra märkbart för .pbcor-filer då brusnivån inte är konstant, som beskrivet i Avsnitt 2.4.1.1.



Figur 3.11: Förfinad konturkarta över momentavbildningarna i Figur 3.5. Den svarta heldragna linjen är den anpassade linjen genom konturerna och beskriver vinkeln på utflödet (~ 99 grader relativt x -axeln). Den svarta streckade linjen motsvarar den protoplanetära skivans vinkel (~ 43 grader relativt x -axeln). Utflödets vinkel relativt skivan, alltså vinkeln mellan dessa linjer, är 56 grader.

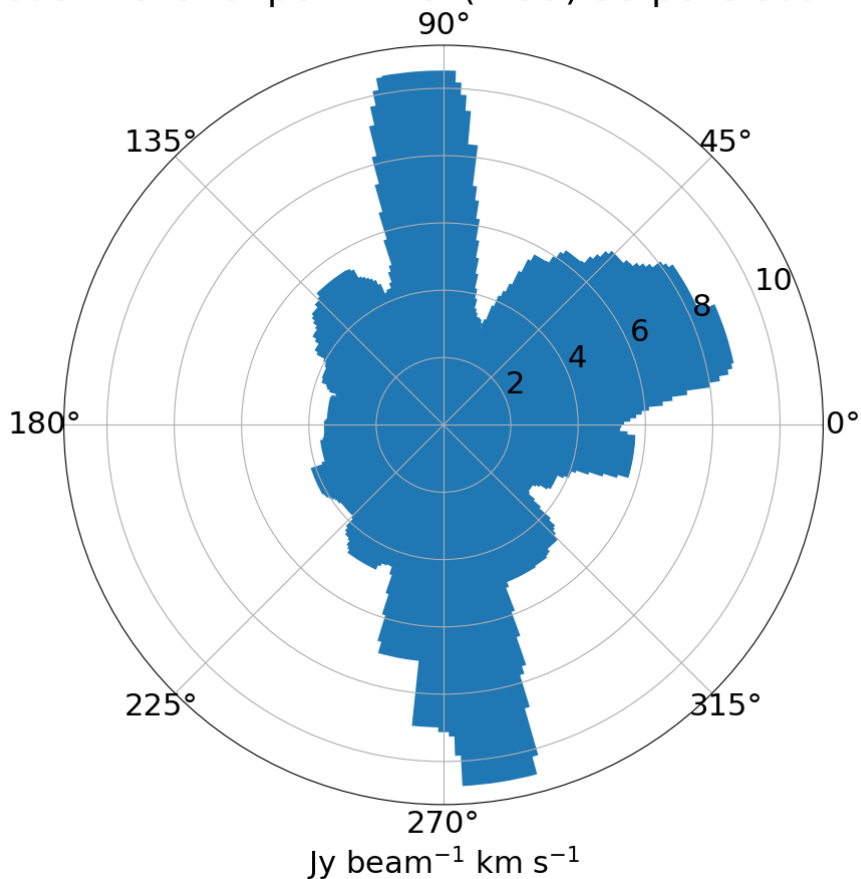
3.3.3 Identifiering av utflödets vinkel via medelintensitet i ett vinkelomfång.

En alternativ metod är att utgå från skivans centrum, dela upp momentavbildningen i vinklar, och för varje vinkel beräkna medelintensiteten. Detta bygger på antagandet att det kommer finnas mest intensitet i utflödets riktning.

Skivans centrum lokaliseras genom metoden beskriven i Avsnitt 3.2.1. Därefter beräknas varje koordinats vinkel till centrum, relativt positiva x -axeln, varpå dess intensitet adderas till den vinkelns totala intensitet. För att ta hänsyn till den icke-uniforma brusnivån som uppkommer på grund av korrigeringen för *primary beams*, beskrivet i Avsnitt 2.4.1.1, viktas denna intensitet inverst med avstånd från mitten. Eftersom skivan inte alltid ligger i mitten av bilden, med följden att olika antal intensiteter summeras för olika vinklar, divideras de summerade intensiteterna med antalet summerade intensiteter för att erhålla medelintensiteter.

För att undvika påverkan från skivan utelämnas ett område runt skivan från analysen. Resultatet förfinas ytterligare genom att förbigå intensiteter under brusnivån. Detta ger en vinkel som visas i Figur 3.12. Denna vinkel jämförs sedan med skivans vinkel, på samma sätt som beskrivet i Avsnitt 3.3.2, för att få den relativa vinkeln.

Medelintensitet per vinkel (^{12}CO) Serpens South C7



Figur 3.12: Medelintensitet per vinkel för momentavbildningen i Figur 3.6. Den beräknade vinkeln av utflödet relativt x -axeln blir 97 grader.

4

Resultat

Projektets resultat består av flera olika delar. Den första delen är beslutsträdet som filtrerar ut observationer som sannolikt innehåller diskar och utflöden baserat på de parametrar som nämns i Avsnitt 3.1.

Den andra delen av projektets resultat består av den kod som utvecklats för följande ändamål:

1. Identifiera relevanta frekvensomfång och generera momentavbildningar från dessa.
2. Identifiera tröskeln för brus och sälla bort värden under denna tröskel.
3. Identifiera skivan utifrån en kontinuum-bild.
4. Identifiera utflödenas omfång och riktning.
5. Generera konturkartor av de brusreducerade momentavbildningarna.
6. Föra statistik över observationer från ALMAs arkiv.

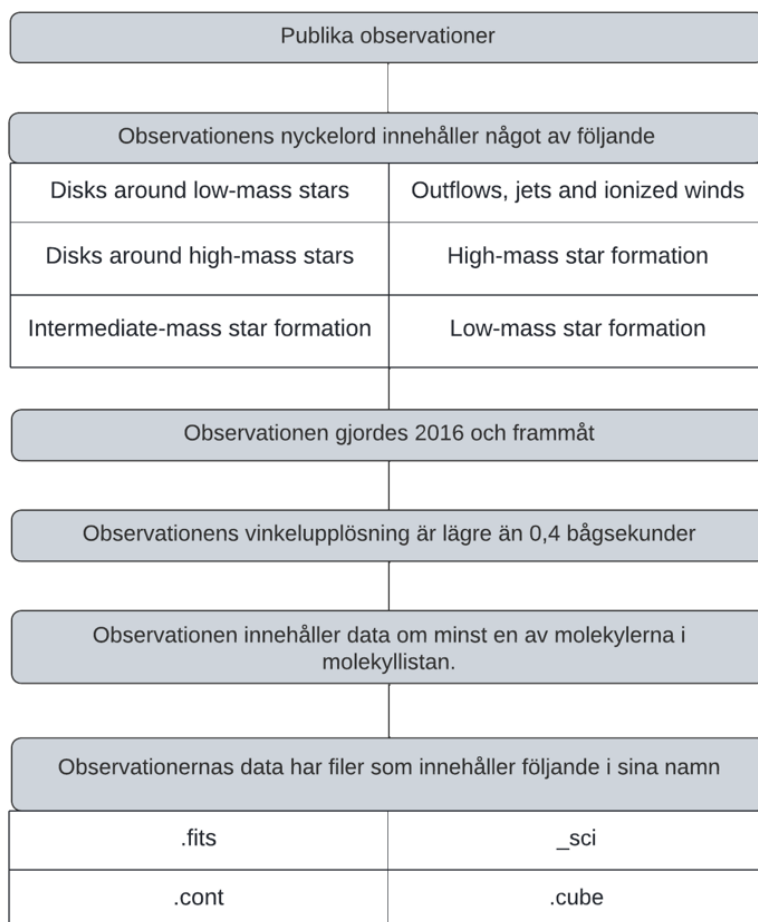
I ovanstående lista är punkt 1 och 2 nära knutna eftersom identifiering av relevanta frekvensomfång till viss del kan sägas vara identifiering av vilka frekvenser som inte innehåller brus. Således kan bortfiltreringen av brus ha direkt anknytning till punkt 1 beroende på val av metod.

Ett gemensamt drag för ovanstående punkter är att, med undantag för punkt 3, flera lösningar utvecklades för dess ändamål. Detta på grund av att en specifik lösning var mer eller mindre passande för olika observationer. Det vill säga, medan en lösning kunde ge lovande resultat för en observation och observationer lika denna, gav ofta samma metod vaga eller till synes oanvändbara resultat för andra observationer.

4.1 Beslutsträd

Genom restriktioner på nedladdningen av data blir alla observationer filtrerade enligt beslutsträdet i Figur 4.1. Filtrering på nyckelord, publiceringsår, vinkelupp-

lösning och molekyler från molekyllistan utförs enligt Avsnitt 3.1. Hela ALMA-arkivet innehåller ~56 000 observationer och efter denna filtrering återstår 3496 observationer. Efter denna första filtrering görs ett försök att ladda ner potentiella `.cont`-filer. Om det lyckas kommer även `.cube`-filer laddas ned varpå analys av den nedladdade datan följer.



Figur 4.1: Beslutsträdet som används för att sortera ut relevanta observationer från ALMAs arkiv för analys.

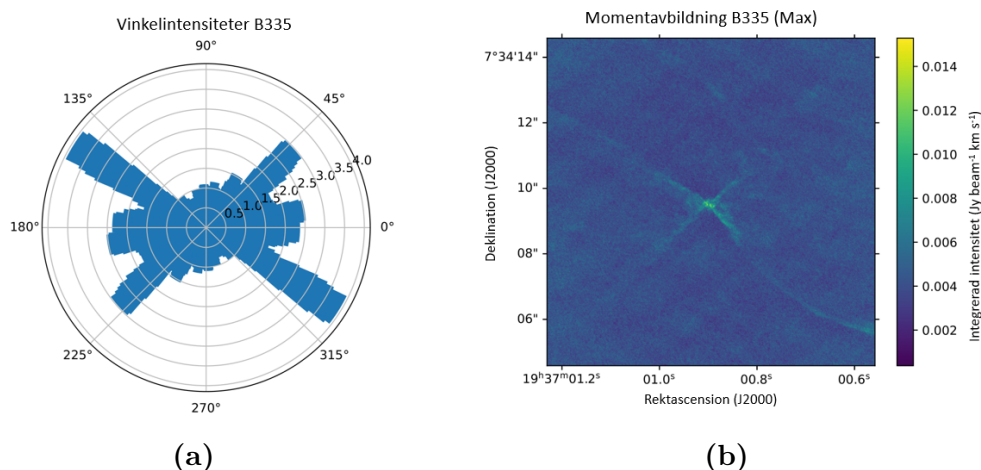
4.2 Momentavbildningar

Framställning av momentavbildningar har, som beskrivet i Avsnitt 3.2, uppnåtts genom tre olika metoder. Dessa består av en metod som filtrerar bort frekvenser med en medelintensitet under den fastställda tröskeln för brus, en metod som fastställer intressanta frekvensintervall genom att anpassa två eller tre endimensionella

Gauss-kurvor och hitta inflektionspunkter och en metod som för varje koordinat summerar de 10% högsta intensiteterna.

4.3 Identifiering av utflöde

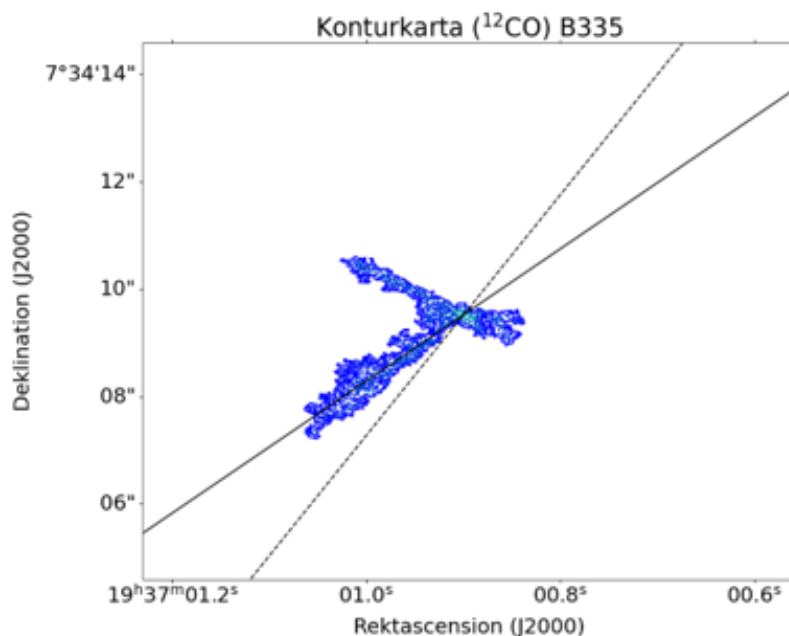
Inom projektet har två lösningar producerats för vinkeluppskattning på utflöde. Den ena lösningen, beskriven i Avsnitt 3.3, summerar intensiteter i olika vinkelomfång och lämpas därför för smala utflöden som i observationerna är synliga som en solid stråle. Detta då hela eller en majoritet av utflödet hamnar inom ett vinkelomfång och därför ger större och mer definitivt utslag. För bredare utflöden blir resultaten vagare. Detta kan exemplifieras av observationer där det huvudsakligen är kanterna av utflödet som har betydande intensitet vilket gör att vinkeluppskattning försvåras. Detta på grund av att flera vinkelomfång kan få en högre summerad intensitet alternativt att endast en del av utflödet får en högre summerad intensitet. Se Figur 4.2a och Figur 4.2b för ett exempel där den ena kanten av utflödet får betydligt högre summerad intensitet än resten.



Figur 4.2: I (a) visas summerade intensiteter för olika vinklar hos protostjärnan B335. I (b) visas momentavbildningen av utflödet från protostjärnan B335. Bilderna är baserade på $(2 \rightarrow 1)$ övergången hos ^{12}CO .

Den andra lösningen, beskriven i Avsnitt 3.3.2, använder sig av konturer som omringar skivan. Denna metod är, när applicerbar, mer generell eftersom den kan ge rimliga resultat för både smalare och bredare utflöden. Huvudsakliga förutsättningen för denna lösning, utöver att konturerna måste gå runt skivans mitt, är en relativt tydlig distinktion mellan utflöde och brus. Om bruset har en till-

räckligt hög intensitet vid utflödena kommer konturkartorna att till en mindre grad överensstämma med utflödena. Figur 4.3 visar ett exempel där brusnivån har gett upphov till en sämre konturkarta, där endast konturer från den blåförskjutna emissionen detekteras.



Figur 4.3: Exempel på identifiering av utflöde med konturkarta från en observation av B335. Se Figur 4.2b för momentavbildning från samma observation.

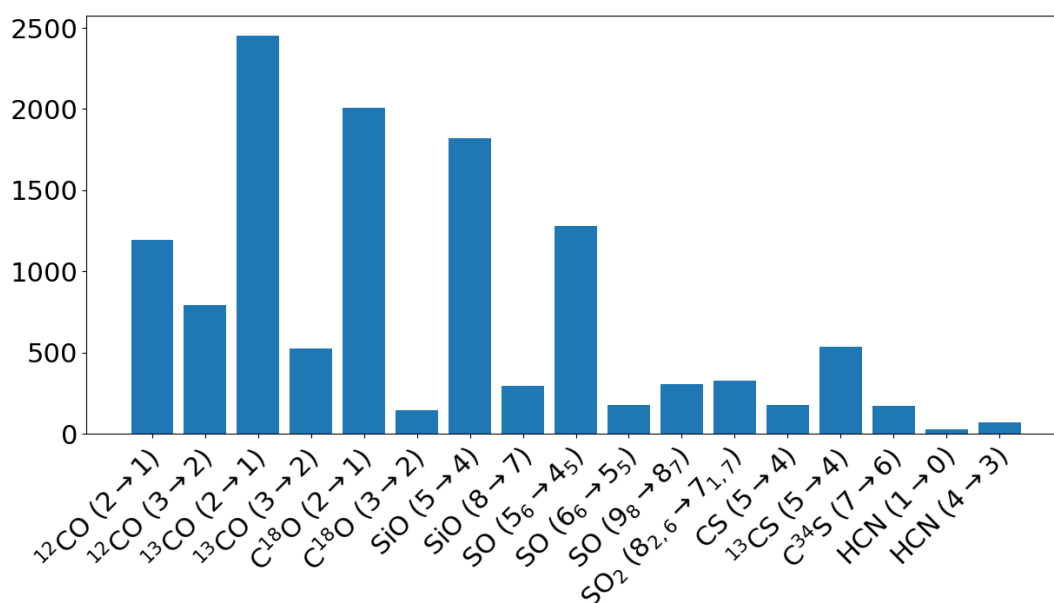
4.4 Statistik

En del av koden kan användas för att beräkna statistik genom att analysera observationer som filtrerats fram. Genom användning av *ALminer*, se Bilaga B för tillhörande kod, kan en *skymap*, stjärnkarta, genereras. Ett exempel av detta syns i Figur 4.6. Kartan visar stjärnhimlen där röda prickar indikerar varje observation som uppfyller den filtrering som användaren har definierat. Detta möjliggör för användaren att få en överblick över var på himlen observationer har genomförts.

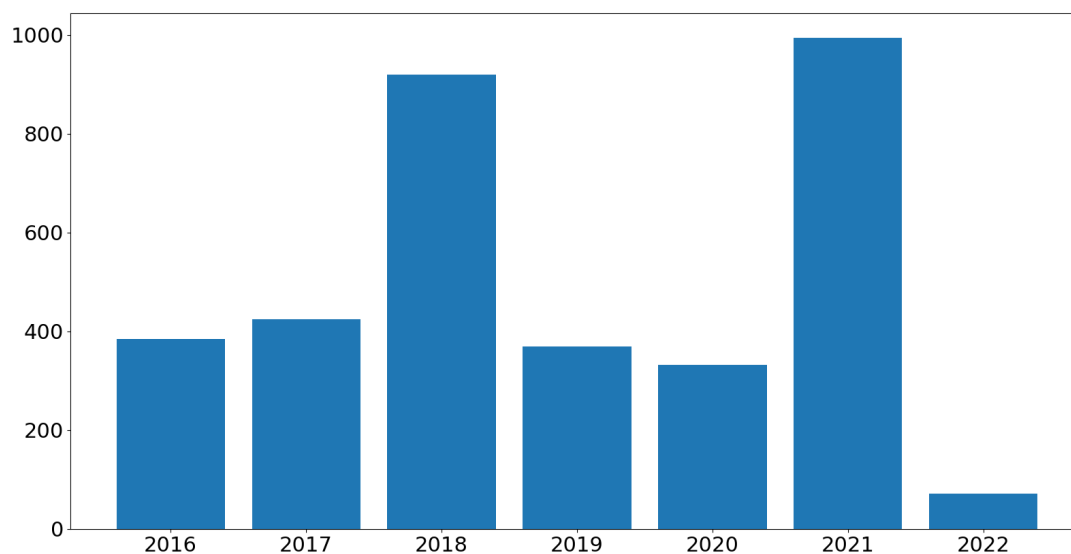
Användaren kan också gå igenom framfiltrerade observationer och se vilka som saknar `.cont`-filer vilket kan vara användbart för de andra funktionerna i programmet. Dessa visas i konsolen genom utskriven text som beskriver den totala mängden observationer som kontrollerats, mängden observationer som innehåller `.cont`-filer tillsammans med procentandelen observationer som innehåller `.cont`-filer. Det finns sedan flera funktioner som genererar stapeldiagram för att visua-

lisera statistik. Bland dessa finns det en funktion som visar vilka årtal de valda observationerna laddades upp till arkivet, visat i Figur 4.5.

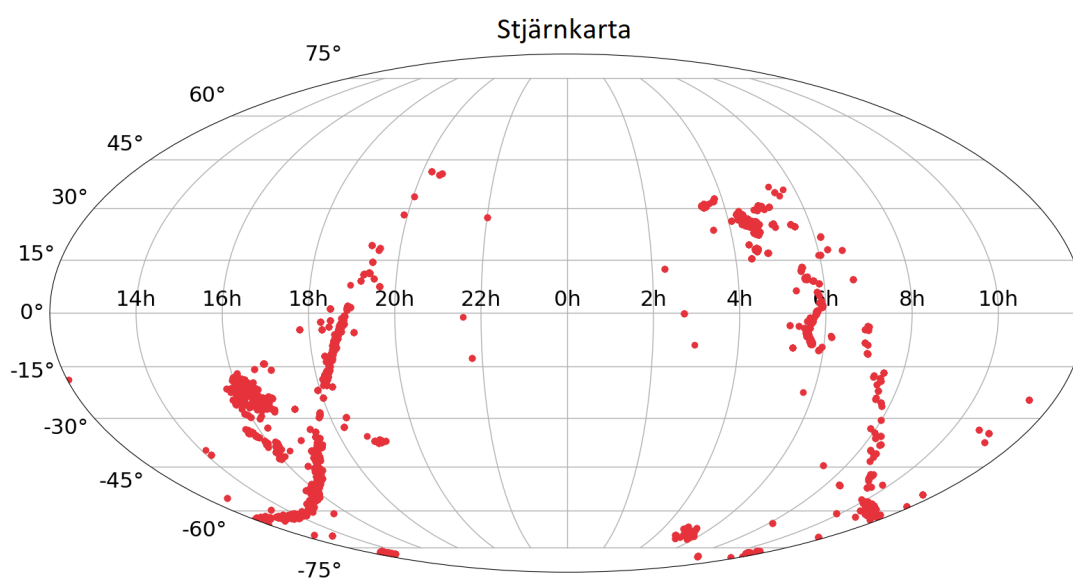
Det finns också en funktion som extraherar hur många observationer från sökningen som innehåller de olika molekylerna med tillhörande rotationsövergångar som är vanliga i observationer innehållande utflöden, beskrivna i Tabell A.1, som filtreras för. Resultatet visas i stapeldiagrammet i Figur 4.4. Ur figuren framgår det att de vanligaste rotationsövergångarna i observationer som filtrerats fram är ^{13}CO ($2 \rightarrow 1$), C^{18}O ($2 \rightarrow 1$), SiO ($5 \rightarrow 4$), SO ($5_6 \rightarrow 4_5$) och ^{12}CO ($2 \rightarrow 1$). Övriga molekyler förekommer inte lika frekvent i de valda observationerna.



Figur 4.4: Stapeldiagram som visar fördelningen av de olika molekylerna från Tabell A.1 i de framfiltrerade observationerna.



Figur 4.5: Stapeldiagram som visar årsfördelningen av antalet observationer framfiltrerade med beslutsträdet.



Figur 4.6: Stjärnkarta som indikerar var på stjärnhimlen observationer framfiltrerade med beslutsträdet är observerade.

4.5 Systematisk analys

I projektet har de metoder som utvecklats kombinerats för att bilda ett program som systematiskt går igenom de observationer som filtreras ut. Efter filtrering laddar programmet ner data för en observation i taget. På denna data utförs de analyser som utvecklats, varpå resultaten av dessa sparas. Därefter raderas observationsdatan och programmet går vidare till nästa observation för att ladda ner dess data och, på även den datan, genomföra analys. Denna programslinga fortsätter tills samtliga av de framfiltrerade observationer behandlats.

5

Diskussion och Slutsatser

Här diskuteras projektets resultat relaterat till syftet i Avsnitt 1.1, varpå slutsatser dras. Diskussionen berör även tillvägagångssättet som använts under arbetets gång och förslag på förbättringsområden för både metod och produkt tillsammans med vidareutveckling av produkten.

5.1 Diskussion

Projektets syfte skulle kunna delas upp i delmål som består av filtrering och inhämtning av observationsdata, framtagning av momentavbildningar, identifiering av utflöde samt analys av den spatiala relationen som molekyler och stoft har med utflöden. Vissa av delmålen visade sig vara mer tidskrävande och svårare att fullfölja än andra. Därmed skiljer det sig åt hur väl projektets syfte uppnåddes, beroende på vilken aspekt av syftet som beaktas.

Filtrering och inhämtning av observationsdata har, inom ramen för detta projekt, i stort uppfyllts. Som nämnt i Avsnitt 3.1 filtreras i detta projekt observationerna enligt beslutsträdet i Figur 4.1. Parametrarna i beslutsträdet valdes för ändamålet att studera utflöden i stjärnbildning. För andra forskningsområden inom astronomin är därmed inte det producerade beslutsträdet lika användbart. Däremot kan beslutsträdet modifieras med exempelvis andra nyckelord och molekyler. På så vis kan beslutsträdet få fler användningsområden än enbart studier av molekylära utflöden.

Framtagning av momentavbildningar har genomförts med varierande framgång. De metoder som utvecklats ger en tydligare bild av datan, men kan ge bättre eller sämre resultat beroende på bland annat brusnivå och utformning av frekvensprofilen. Medan framtagning av momentavbildningar inte nödvändigtvis är en förutsättning för framgången av projektet, har det bidragit till ett bättre uppfyllande av syftet. Dock är de användbara för den utflödesidentifiering som genomförs, då en lägre andel brus och oönskad emission ger bättre förutsättningar för denna.

Viss identifiering av utflöden har uppnåtts, men stor potential för förbättring kvarstår. Som nämnts i Avsnitt 3.3 och Avsnitt 4.3 har metoder utvecklats för identifiering av utflöden. Dessa lösningar har definitivt viss användning eftersom de kan ge en uppfattning om utflödets utformning. Användbarheten begränsas dock av att resultaten som genereras inte alltid är helt korrekta. Dessutom är detaljnivån på även de mer lyckade resultaten oftast ganska låg, det vill säga att den form som fås är en relativt grov uppskattning. Trots detta kan metoderna ofta vara användbara för att relativt precist utvinna vinkeln av utflöden, vilket ger en viss ökad nytta.

Något som ursprungligen var tänkt att utföras var att låta programmet gå igenom samtliga framfiltrerade observationer och utföra analyserna. Detta har dock inte gjorts, huvudsakligen av tidsskäl. En observation som har gjorts är att den största bidragande faktorn till programmets exekveringstid är just nedladdningen av datan, då den totala datamängden även efter filtrering är hundratals TB. Dessutom varierar den tillgängliga bandbredden från ARCerna vilket leder till att nedladdningshastigheten stundtals kan vara kraftigt begränsad, vid ett tillfälle var den endast cirka 12 kB/s.

Analys av den spatiala relationen mellan molekyler och stoft med utflöden har inte uppnåtts. För att detta delmål skulle uppfyllas skulle det, i sin mest grundläggande form, behövas en identifiering av utflödets utformning. I och med att detta inte uppnåtts till en tillfredsställande grad, har inte heller någon form av analys av den spatiala relationen kunnat genomföras.

5.2 Förbättringsområden

Medan genererandet av momentavbildningar har varit framgångsrik för många observationer finns det fortfarande en andel data som på olika sätt hindrar genererandet av momentavbildningar. Detta kan bero på många olika anledningar varav två diskuteras i Avsnitt 3.2.2. Metoden för att generera momentavbildningar kan därför troligen förbättras på något sätt som inte utforskats hittills under projektets gång.

Som diskuterats i Avsnitt 5.1 har inte automatiserad jämförelse mellan observationer uppfyllts. Varierande kvalitet av ALMA data och utflödens varierande morfologi gör det svårt att automatiskt, utan mänsklig interaktion, jämföra observationer med varandra. Dock, om en sådan automatisk jämförelse åstadkommits skulle den dels kunna användas för att automatiskt hitta utflöden och skivor i observationer, men också för att komma fram till slutsatser om egenskaper hos utflöden.

5.3 Vidareutveckling av projektet

Under arbetets gång har en del idéer framförts som antingen har sträckt sig utanför ramen för detta arbete eller som inte har passat in med syftet som definierats för projektet. Dessa idéer har då skrivits ned och diskuterats med handledare. Projektet kan med hjälp av vissa av dessa idéer utvecklas vidare för att producera en bättre och mer användbar produkt.

Något som utforskats under projektets senare delar är möjligheten att anpassa antingen parabler eller en paraboloid för att erhålla formen av utflöden. Detta har dock, på grund av tidsbrist, inte uppnåtts och skulle därför vara en potentiell vidareutveckling.

En av idéerna för att producera en bättre produkt är att inkludera en större mängd molekyler i analysen för att minimera risken att missa potentiella upptäckter genom att ignorera molekyler. En framtida utveckling kan därför vara att låta användaren specificera vilka molekyler som är intressanta för dem. Detta kan också inkludera att användaren också får välja vilka rotationsövergångar hos molekylerna som ska analyseras. Denna funktionalitet är redan möjlig då molekylerna som analyseras kommer från en `.csv`-fil som är framställd via *Splatalogue*, men kan göras mer åtkomlig för användaren [47]. Detta kan åstadkommas genom att låta användaren specificera vilka molekyler de vill analysera och sedan generera *Splatalogue*-filen baserat på inmatningen.

En annan utveckling till projektet är att använda ett konvolutionerande neuralt nätverk för att utföra fler funktioner än att bildanalysera och jämföra momentkartor hos utflöden. De kan användas för att till exempel välja ut intressanta observationer som är relevanta till utflöden genom att hitta gemensamma egenskaper hos de observationer som tidigare ansetts intressanta.

Användningen av neurala nätverk kan även vara intressant för de områden som projektet redan har berört, exempelvis identifiering av utflöden, då det givet bra träningsdata bör kunna resultera i en mer generell lösning än det som åstadkommits i detta projekt.

En viktig vidareutveckling är även att utveckla metoder för analys av stoft och molekyldistribution av observerade objekt. I detta syfte skulle metoder krävas som, med hög precision, kan bestämma formen av utflödet. Som en vidareutveckling av detta skulle en formbestämning av utflödet över flera observationer av samma objekt ge en vidare möjlighet för analys, särskilt för distributionen av olika molekyler givet att någon av observationerna använder olika frekvensband.

5.4 Slutsatser

Sammanfattningsvis har projektet lyckats med sitt syfte att utveckla ett verktyg som kan vara till hjälp för forskare som systematiskt vill analysera ALMAs arkiv. Genom det utvecklade programmet får forskarna tillgång till nedladdningsrutiner, statistiska verktyg och analytiska funktioner som genererar momentavbildningar, konturbilder och vinkeluppskattningar. För att vidareutveckla projektet mot att automatiskt jämföra olika observationer hade det behövts en automatisk identifiering av utflödesområden, då detta ligger till grund för att kunna jämföra olika observationsdata för samma objekt. Alltså hade det varit ett betydelsefullt nästa steg för projektet. Avslutningsvis har en användbar produkt framtagits som kan hjälpa forskare att systematiskt studera ALMAs arkiv och protostjärnors utflöden.

Referenser

- [1] NASA, "Our Solar System." nasa.gov. <https://solarsystem.nasa.gov/solar-system/our-solar-system/in-depth/> (hämtad maj. 5, 2022).
- [2] D. Dobrijevic, "Orion Nebula: Facts about Earth's nearest stellar nursery," *space.com*, nov. 2021. [Online]. Tillgänglig: <https://www.space.com/orion-nebula> (hämtad maj. 11, 2022).
- [3] T. P. Greene, "Protostars "Stellar embryology" takes a step forward with the first detailed look at the youngest Sun-like stars," *American Scientist*, årg. 89, 2001. [Online]. Tillgänglig: https://www.americanscientist.org/sites/americanscientist.org/files/2005223144527_306.pdf.
- [4] I. Pascucci, S. Cabrit, S. Edwards m.fl., "The Role of Disk Winds in the Evolution and Dispersal of Protoplanetary Disks," 2022. [Online]. Tillgänglig: <https://arxiv.org/pdf/2203.10068.pdf>.
- [5] ALMA Observatory, "About ALMA, at first glance." almaobservatory.org. <https://www.almaobservatory.org/en/about-alma/> (hämtad febr. 16, 2022).
- [6] ALMA Observatory, "Star and planet formation." almaobservatory.org. <https://www.almaobservatory.org/en/about-alma/how-alma-works/capabilities/star-and-planet-formation/> (hämtad maj. 10, 2022).
- [7] ALMA Observatory, "Detecting extrasolar planets under formation." almaobservatory.org. <https://www.almaobservatory.org/en/about-alma/how-alma-works/capabilities/detecting-extrasolar-planets-under-formation-with-alma/> (hämtad maj. 10, 2022).
- [8] ALMA Observatory, "How ALMA Observations are carried out." almaobservatory.org. <https://www.almaobservatory.org/en/about-alma/how-alma-works/how-alma-observations-are-carried-out/> (hämtad april. 28, 2022).
- [9] S. Aalto, Föreläsning, Ämne: "Exoplanets-Modern Astrophysics", Institutionen för rymd-, geo- och miljövetenskap, Chalmers tekniska högskola, Göteborg, nov., 2022.

- [10] Harvard, "Pre-Main Sequence (PMS) Stars." harvard.edu. <https://lweb.cfa.harvard.edu/~pberlind/atlas/htmls/pmsstars.html> (hämtad maj. 11, 2022).
- [11] J. A. Nuth och N. M. Johnson, "Complex Protostellar Chemistry," *Science*, s. 424–425, april 2012. [Online]. Tillgänglig: <https://www.science.org/doi/full/10.1126/science.1219709>.
- [12] S. Stahler, "Bipolar Flow," *Encyclopedia of Astrobiology*, Tillgänglig: https://link.springer.com/referenceworkentry/10.1007/978-3-642-11274-4_195 (hämtad april. 5, 2022).
- [13] P. Bjerkeli, M. H. van der Wiel, D. Harsono m. fl., "Resolved images of a protostellar outflow launched by an extended disk wind," *Nature*, 2016. [Online]. Tillgänglig: <https://arxiv.org/ftp/arxiv/papers/1612/1612.05148.pdf>. DOI: 10.1038/nature20600.
- [14] D. J. Griffiths och D. F. Schroeter, "Time-independent Schrödinger Equation," i *Introduction to Quantum Mechanics*, 3. utg., Cambridge, England: Cambridge University Press, 2018.
- [15] M. Sveningsson och M. Andersson, "Laserinducerad Fluorescens från Jodmolekyler" <https://www.chalmers.se/sv/centrum/fysikcentrum/utbildning/fol/laborationer/Documents/A-labbar/a12.pdf> (hämtad april. 28, 2022).
- [16] E. G. Blackman, "The Bohr Model " <https://www.pas.rochester.edu/~blackman/ast104/bohr.html> (hämtad maj. 11, 2022).
- [17] B. Bayram och M. Freamat, "A Spectral Analysis of Laser Induced Fluorescence of Iodine," juli 2015. DOI: 10.1119/bfy.2015.pr.002.
- [18] University of Oxford, "Molecular energy levels and spectroscopy." valance.chem.ox.ac.uk. <http://vallance.chem.ox.ac.uk/pdfs/MolecularEnergyLevelsNotes.pdf> (hämtad maj. 11, 2022).
- [19] Indian Institute of Science Education and Research, "Rotation and Vibration of Diatomic Molecules." sites.iiserpune.ac.in. http://sites.iiserpune.ac.in/~bhasbapat/phy420_files/Demtroeder_rotovibrazioni.pdf (hämtad maj. 11, 2022).
- [20] D. F. Miller, "The Properties of Electromagnetic Radiation," i *Basics of Radio Astronomy for the Goldstone-Apple Valley Radio Telescope*, Tillgänglig: https://www2.jpl.nasa.gov/radioastronomy/radioastronomy_all.pdf (hämtad mars. 28, 2022), Pasadena, California, USA: California Institute of Technology, 1998. [Online].
- [21] ESA, "The electromagnetic spectrum," *CESAR's Booklet*, Tillgänglig: https://cesar.esa.int/upload/201711/electromagnetic_spectrum_booklet_wboxes.pdf (hämtad mars. 28, 2022).

- [22] R. G. Grainger, "Electromagnetic Absorption and Emission by Atoms and Molecules," i *An Atmospheric Radiative Transfer Primer*, Tillgänglig: <http://eodg.atm.ox.ac.uk/user/grainger/research/book/> (hämtad mars. 23, 2022), Boca Raton, Florida, USA: CRC Press, [Online].
- [23] C. Nordling och J. Österman, "Physical Formulas and Diagrams," i *Physics Handbook*, 4. utg., Lund, Sverige: Studentlitteratur, 1980.
- [24] ESO, "ALMA - In search of our cosmic origins." ESO.org. <https://www.eso.org/public/teles-instr/alma/> (hämtad maj. 6, 2022).
- [25] ALMA Observatory, "How ALMA Works." [almaobservatory.org. https://www.almaobservatory.org/en/about-alma/how-alma-works/](https://www.almaobservatory.org/en/about-alma/how-alma-works/) (hämtad febr. 16, 2022).
- [26] ESO, "ALMA's Antennas." ESO.org. <https://www.eso.org/public/teles-instr/alma/antennas/> (hämtad febr. 16, 2022).
- [27] ALMA Observatory, "Interferometry." [almaobservatory.org. https://www.almaobservatory.org/en/about-alma/how-alma-works/technologies/interferometry/](https://www.almaobservatory.org/en/about-alma/how-alma-works/technologies/interferometry/) (hämtad febr. 16, 2022).
- [28] R. Warmels m.fl., "ALMA Technical Handbook" [arc.iram.fr https://arc.iram.fr/documents/cycle6/ALMA_Cycle6_Technical_Handbook.pdf](https://arc.iram.fr/documents/cycle6/ALMA_Cycle6_Technical_Handbook.pdf) (hämtad maj. 5, 2022).
- [29] ALMA Observatory, "ALMA In-depth," *ALMA Newsletter*, nr 5, april 2010. [Online]. Tillgänglig: https://www.almaobservatory.org/wp-content/uploads/2017/06/05_how_will_alma_make_images.pdf.
- [30] ALMA Observatory, "Capabilities." [almaobservatory.org. https://www.almaobservatory.org/en/about-alma/how-alma-works/capabilities/](https://www.almaobservatory.org/en/about-alma/how-alma-works/capabilities/) (hämtad febr. 18, 2022).
- [31] B. Koberlein, "How interferometry works, and why it's so powerful for astronomy" [Phys.org. https://phys.org/news/2020-02-interferometry-powerful-astronomy.html](https://phys.org/news/2020-02-interferometry-powerful-astronomy.html) (hämtad april. 19, 2022).
- [32] ALMA Observatory, "Supercomputer Ready to make ALMA a Powerful Telescope," dec. 2012. [Online]. Tillgänglig: <https://www.almaobservatory.org/en/press-releases/supercomputer-ready-to-make-alma-a-powerful-telescope/>.
- [33] ALMA Observatory, "ALMA Proposal Review." [almascience.eso.org. https://almascience.eso.org/proposing/alma-proposal-review](https://almascience.eso.org/proposing/alma-proposal-review) (hämtad maj. 11, 2022).
- [34] F. Stoehr m.fl., "ALMA Science Archive Manual" [almascience.eso.org https://almascience.eso.org/documents-and-tools/cycle9/science-archive-manual](https://almascience.eso.org/documents-and-tools/cycle9/science-archive-manual) (hämtad maj. 5, 2022).

- [35] D. C. Wells och E. W. Greisen, "Introduction," i *FITS - a Flexible Image Transport System*, Trieste, Italien: Osservatorio Astronomico di Trieste, 1979.
- [36] A. Papoulis och S. U. Pillai, "Moments," i *Probability, Random Variables and Stochastic Processes*, 4. utg., Boston, Massachusetts, USA: McGraw-Hill, 2002.
- [37] I. Gustavsson och K. Holmåker, "Linjära minskakvadratproblem," i *Numerisk Analys*, 1. utg., Stockholm, Sweden: Liber, 2016.
- [38] K. P. Burnham och D. R. Anderson, "Background Material," i *Model Selection and Multimodel Inference*, 2. utg., New York, USA: Springer-Verlag, 2002.
- [39] E. W. Weisstein, "Normal Distribution " mathworld.wolfram.com <https://mathworld.wolfram.com/NormalDistribution.html> (hämtad maj. 9, 2022).
- [40] A. Papoulis och S. U. Pillai, "Continuous-Type Random Variables," i *Probability, Random Variables and Stochastic Processes*, 4. utg., Boston, Massachusetts, USA: McGraw-Hill, 2002.
- [41] J. J. Condon, "Errors in Elliptical Gaussian Fits," *Publications of the Astronomical Society of the Pacific*, årg. 109, s. 166–172, febr. 1997. DOI: 10.1086/133871.
- [42] A. Ahmadi, "ALminer: ALMA Archive Mining & Visualization Toolkit." alminer.readthedocs.io. <https://alminer.readthedocs.io/en/latest/> (hämtad febr. 18, 2022).
- [43] D. Petry m.fl., "ALMA QA2 Data Products for Cycle 3 " help.almascience.org <https://almascience.eso.org/processing/documents-and-tools/cycle3/ALMAQA2Products3.0.pdf> (hämtad maj. 10, 2022).
- [44] C. Ubach, "What Calibration and Imaging products will be delivered to me? " help.almascience.org <https://help.almascience.org/kb/articles/what-calibration-and-imaging-products-will-be-delivered-to-me> (hämtad maj. 9, 2022).
- [45] P. Virtanen m.fl., "SciPy 1.0: Fundamental Algorithms for Scientific Computing in Python," *Nature Methods*, årg. 17, s. 261–272, 2020. DOI: 10.1038/s41592-019-0686-2.
- [46] J. D. Hunter, "Matplotlib: A 2D graphics environment," *Computing in Science & Engineering*, årg. 9, nr 3, s. 90–95, 2007. DOI: 10.1109/MCSE.2007.55.
- [47] Splatalogue, <https://splatalogue.online/advanced1.php> (hämtad maj. 9, 2022).

- [48] H.-W. Yen, S. Takakuwa, N. Ohashi m. fl., “ALMA observations of infalling flows toward the Keplerian disk around the Class I protostar L1489 IRS,” *The Astrophysical Journal*, årg. 793, nr 1, 2014.
- [49] Ł. Tychoniec, C. L. Hull, L. E. Kristensen m. fl., “Chemical and kinematic structure of extremely high-velocity molecular jets in the Serpens Main star-forming region,” *Astronomy & Astrophysics*, årg. 632, 2019.
- [50] F. Louvet, C. Dougados, S. Cabrit m. fl., “ALMA observations of the Th 28 protostellar disk-A new example of counter-rotation between disk and optical jet,” *Astronomy & Astrophysics*, årg. 596, 2016.
- [51] L. Busch, A. Belloche, S. Cabrit m. fl., “The dynamically young outflow of the Class 0 protostar Cha-MMS1,” *Astronomy & Astrophysics*, årg. 633, 2020.
- [52] S. Jin, A. Isella, P. Huang m. fl., “New Constraints on the Dust and Gas Distribution in the LkCa 15 Disk from ALMA,” *The Astrophysical Journal*, årg. 881, nr 2, aug. 2019. DOI: 10.3847/1538-4357/ab2dfe. URL: <https://doi.org/10.3847/1538-4357/ab2dfe>.
- [53] F. Yusef-Zadeh, M. Royster, M. Wardle m. fl., “ALMA observations of the Galactic center: SiO outflows and high-mass star formation near Sgr A,” *The Astrophysical Journal Letters*, årg. 767, nr 2, 2013.
- [54] B. Tabone, S. Cabrit, E. Bianchi m. fl., “ALMA discovery of a rotating SO/SO₂ flow in HH212-A possible MHD disk wind?” *Astronomy & Astrophysics*, årg. 607, 2017.
- [55] L. Dewangan, I. Zinchenko, P. Zemlyanukha m. fl., “The Disk–Outflow System around the Rare Young O-type Protostar W42-MME,” *The Astrophysical Journal*, årg. 925, nr 1, 2022.
- [56] Y. Zhang, A. E. Higuchi, N. Sakai m. fl., “Rotation in the NGC 1333 IRAS 4C Outflow,” *The Astrophysical Journal*, årg. 864, nr 1, 2018.
- [57] J. Bally, R. K. Mann, J. Eisner m. fl., “ALMA observations of the largest proto-planetary disk in the Orion Nebula, 114–426: A CO silhouette,” *The Astrophysical Journal*, årg. 808, nr 1, 2015.
- [58] T. Baug, K. Wang, T. Liu m. fl., “An ALMA study of outflow parameters of protoclusters: outflow feedback to maintain the turbulence,” *Monthly Notices of the Royal Astronomical Society*, årg. 507, nr 3, juli 2021, ISSN: 0035-8711. DOI: 10.1093/mnras/stab1902. URL: <https://doi.org/10.1093/mnras/stab1902>.

A

Utvalda molekyler och tillhörande rotationsövergångar

Tabell A.1: Lista över valda molekyllära rotationsövergångar. Samtliga övergångar är vanligt förekommande i observationer av utflöden med ALMA. Referenskolumnen uppger artiklar som observerat utflöden med respektive rotationsövergång med ALMA.

Molekyl	Rotationsövergång	Frekvens (GHz)	Referens
^{12}CO	$2 \rightarrow 1$	230,538	[13] [48] [49]
^{12}CO	$3 \rightarrow 2$	345,796	[50] [51] [52]
^{13}CO	$2 \rightarrow 1$	220,399	[13] [48] [50]
^{13}CO	$3 \rightarrow 2$	330,588	[51] [52]
C^{18}O	$2 \rightarrow 1$	219,560	[13] [48]
C^{18}O	$3 \rightarrow 2$	329,331	[52]
SiO	$5 \rightarrow 4$	217,105	[53] [49]
SiO	$8 \rightarrow 7$	347,331	[54] [55]
SO	$5_6 \rightarrow 4_5$	219,949	[48]
SO	$6_6 \rightarrow 5_5$	244,936	[56]
SO	$9_8 \rightarrow 8_7$	346,528	[54]
SO ₂	$8_{2,6} \rightarrow 7_{1,7}$	334,673	[54]
CS	$5 \rightarrow 4$	244,936	[56]
^{13}CS	$5 \rightarrow 4$	231,221	[55]
C^{34}S	$7 \rightarrow 6$	337,396	[54]
HCN	$1 \rightarrow 0$	88,631	[49]
HCN	$4 \rightarrow 3$	354,505	[57] [58]

B

ALMA_statistics.py

```
1 from datetime import date
2 from tabnanny import filename_only
3 import alminer
4 import alminer_extensions
5 import pandas
6 import alminer_extensions
7 import matplotlib
8 import numpy
9 import matplotlib.pyplot as plt
10 import os
11 import FittingData
12
13
14
15 # this changes the default date converter for better interactive plotting of
    dates:
16 plt.rcParams['date.converter'] = 'concise'
17 query = alminer.keysearch({'science_keyword': ['Outflows, jets and ionized
    winds']})
18
19 def observations_by_year(query):
20
21     #the years that are being checked
22     categories = ["2011", "2012", "2013", "2014", "2015", "2016", "2017", "
    2018", "2019", "2020", "2021", "2022"]
23     data = []
24
25     #going through the query and counting amount of observations each year
26     for i in categories:
27         count = 0
28         queryData = (query[query.obs_release_date > i])
29         queryData = (queryData[queryData.obs_release_date < str(int(i)+1)])
30
31         for i in range(len(queryData)):
32             count += 1
33         data.append(count)
34
```

```
35 #prints figure showing the data
36 fig1, ax = plt.subplots(figsize=(8, 4), layout='constrained')
37 fig1.canvas.manager.set_window_title('Publikationsår för observationerna
i sökningen')
38 ax.bar(categories, data)
39
40
41
42 #statistics about what electron transitions are covered by observations
43 def electron_transitions(query, frequencies, z=0., only_relevant=True):
44     line_names = (frequencies['Species'] + ' ' + frequencies['Resolved QNs'
]).tolist()
45     line_freqs = frequencies['Ordered Freq (GHz)'].tolist()
46     minfreq = min(query['min_freq_GHz'].tolist())
47     maxfreq = max(query['max_freq_GHz'].tolist())
48     categories = []
49     data = []
50     for t, line in enumerate(line_names):
51         if not (minfreq <= line_freqs[t] <= maxfreq) and only_relevant:
52             continue
53         line_df = alminer.line_coverage(query, line_freq=line_freqs[t], z=z,
line_name=line_names[t], print_summary=False, print_targets=False)
54         if not line_df.empty:
55             categories.append(line_names[t])
56             data.append(len(line_df))
57
58     fig2, bx = plt.subplots(figsize=(12, 8))
59     fig2.canvas.manager.set_window_title('Molekyler och elektronövergångar i
sökningen')
60     y_pos = range(len(categories))
61     plt.xticks(y_pos, shorten_line_names(categories), rotation=90)
62     bx.bar(shorten_line_names(categories), data)
63
64 # skymap för vart alla observationer från arkivet är
65 def fig_skymap(query):
66     alminer.plot_sky(query)
67
68 def shorten_line_names(names):
69     newNames = []
70     for name in names:
71         newNames.append(name.replace("J=", "").replace("v=0", "").split(",F=")
[0])
72     return newNames
73
74 def missing_cont_file(query):
75     total_obs = 0
76     has_cont = 0
77     for i in range(len(query)):
78         line = query.take([i])
```

```
79         total_obs += 1
80         data = alminer.download_data(line, fitsonly=False, dryrun=True,
81         print_urls=False, filename_must_include=".cont")
82         print(data)
83         if data != None:
84             has_cont += 1
85             percentage = has_cont/total_obs * 100
86             print(str(has_cont) + " observation(er) innehåller en .cont fil utav
87             totalt: " + str(total_obs) + " observation(er)." + " (" + str(percentage)
88             + "%)")
89
90 ## fix this function, use functions in fitting data that is actually used to
91 analyse data
92 def analasys_success(total_files_analysed, total_files_analysed_2,
93         analasys_failed, analasys_failed_2):
94     analasys_fig, dx = plt.subplots(figsize=(9, 5), layout='constrained')
95     analasys_fig.canvas.manager.set_window_title('Mängden framgångsrika
96     analyser i sökningen')
97     categories_analasis_success = ["Analyser", "Misslyckade analyser", "
98     Analyser 2", "Misslyckade analyser 2"]
99     data_analasis_success = [total_files_analysed, analasys_failed,
100     total_files_analysed_2, analasys_failed_2]
101     dx.bar(categories_analasis_success, data_analasis_success)
```

C

alminer_extensions.py

```
1 from os import system
2 import alminer
3 import pandas as pd
4 from astroquery.alma import Alma
5 from astropy.io import fits
6 import numpy as np
7 import os
8
9 # Below license is for ALminer since we have modified some code from there
10 """
11 MIT License
12
13 Copyright (c) 2021 Aida Ahmadi, Alvaro Hacar
14
15 Permission is hereby granted, free of charge, to any person obtaining a copy
16 of this software and associated documentation files (the "Software"), to
17   deal
18 in the Software without restriction, including without limitation the rights
19 to use, copy, modify, merge, publish, distribute, sublicense, and/or sell
20 copies of the Software, and to permit persons to whom the Software is
21 furnished to do so, subject to the following conditions:
22
23 The above copyright notice and this permission notice shall be included in
24   all
25 copies or substantial portions of the Software.
26
27 THE SOFTWARE IS PROVIDED "AS IS", WITHOUT WARRANTY OF ANY KIND, EXPRESS OR
28 IMPLIED, INCLUDING BUT NOT LIMITED TO THE WARRANTIES OF MERCHANTABILITY,
29 FITNESS FOR A PARTICULAR PURPOSE AND NONINFRINGEMENT. IN NO EVENT SHALL THE
30 AUTHORS OR COPYRIGHT HOLDERS BE LIABLE FOR ANY CLAIM, DAMAGES OR OTHER
31 LIABILITY, WHETHER IN AN ACTION OF CONTRACT, TORT OR OTHERWISE, ARISING FROM
32   ,
33 OUT OF OR IN CONNECTION WITH THE SOFTWARE OR THE USE OR OTHER DEALINGS IN
34   THE
35 SOFTWARE.
36 """
37
```



```

34
35 def get_freq(freqs):
36     res = freqs.split(',')
37     return float(res[0])
38
39
40 # Takes in frequencies from a splatalogue CSV file and returns a formatted
    pandas data frame
41 def get_frequencies(dir):
42     csv_file = pd.read_csv(dir, sep=',')
43     csv_file = csv_file.drop(['Chemical Name', 'CDMS/JPL Intensity', 'Lovas/
    AST Intensity',
44                               'E_L (cm-1)', 'E_L (K)', 'Linelist'], axis=1)
45     csv_file = csv_file.rename(columns={'Ordered Freq (GHz) (rest frame,
    redshifted)': 'Ordered Freq (GHz)'})
46     csv_file['Ordered Freq (GHz)'] = csv_file['Ordered Freq (GHz)'].apply(
    get_freq)
47     return csv_file[csv_file['Resolved QNs'].str.contains('F') == False]
48
49 # Takes dataframe returned by get_frequencies and a given frequency range
    and matches to a
50 # molecule, if no direct match gives closest match
51 def get_molecule(ref_freqs, min_freq, max_freq):
52     smallest_diff = 1000000000000 # 1000 GHz
53     closest_match = None
54     mid_freq = (max_freq + min_freq) / 2
55
56     for index, row in ref_freqs.iterrows():
57         tmp = min(abs(row['Ordered Freq (GHz)']*1000000000 - min_freq), abs(
    row['Ordered Freq (GHz)']*1000000000 - max_freq))
58         if tmp < smallest_diff:
59             smallest_diff = tmp
60             closest_match = row['Species'] + ' ' + row['Resolved QNs']
61             if min_freq <= row['Ordered Freq (GHz)']*1000000000 <= max_freq:
62                 return row['Species'] + ' ' + row['Resolved QNs']
63         if closest_match is None:
64             closest_match = 'No match found'
65     return 'Closest match: ' + closest_match
66
67
68 # Generalized lines function. frequencies takes the outputted dataframe from
    get_frequencies
69 def get_lines(observations, frequencies, z=0., only_relevant=True,
    print_summary=True, print_targets=True):
70     df_list = []
71     line_names = (frequencies['Species'] + ' ' + frequencies['Resolved QNs'
    ]).tolist()
72     line_freqs = frequencies['Ordered Freq (GHz)'].tolist()
73     minfreq = min(observations['min_freq_GHz'].tolist())

```

```

74     maxfreq = max(observations['max_freq_GHz'].tolist())
75
76     for t, line in enumerate(line_names):
77         if not (minfreq <= line_freqs[t] <= maxfreq) and only_relevant:
78             continue
79         line_df = alminer.line_coverage(observations, line_freq=line_freqs[t],
80 ], z=z,
81                                     line_name=line_names[t],
82     print_summary=print_summary,
83                                     print_targets=print_targets)
84
85         if not line_df.empty:
86             df_list.append(line_df)
87     if df_list:
88         df = pd.concat(df_list)
89         # need to reset the index of DataFrame so the indices in the final
90         # DataFrame are consecutive
91         df = df.drop_duplicates().reset_index(drop=True)
92         return df
93     else:
94         print("Found no ALMA observations covering transitions of given
95 molecules.")
96         print("-----")
97
98 SiO_line_names = ["SiO (1-0)", "SiO (2-1)", "SiO (3-2)", "SiO (4-3)", "SiO
99 (5-4)", "SiO (6-5)",
100                  "SiO (7-6)", "SiO (8-7)", "SiO (9-8)", "SiO (10-9)", "SiO
101 (11-10)", "SiO (12-11)"]
102 SiO_line_freq = {"SiO (1-0)": 43.42376000, "SiO (2-1)": 86.84696000, "SiO
103 (3-2)": 130.26861000,
104                  "SiO (4-3)": 173.68831000, "SiO (5-4)": 217.10498000, "SiO
105 (6-5)": 260.51802000,
106                  "SiO (7-6)": 303.92696000, "SiO (8-7)": 347.33063100, "SiO
107 (9-8)": 390.72844830,
108                  "SiO (10-9)": 434.11955210, "SiO (11-10)": 477.50309650, "
109 SiO (12-11)": 520.87820390}
110
111 # removes all projects which do not include any of the rotational
112 # transitions we want to study.
113 def removeAllProjectsWithoutMolecules(dataframe, frequencies):
114     trueFalse = [moleculesInRange(minFreq, maxFreq, frequencies) for minFreq
115 , maxFreq in
116                 zip(dataframe['min_freq_GHz'], dataframe['max_freq_GHz'])]
117     dataframe = dataframe.reset_index()
118     dataframe = dataframe.drop(trueFalseToIndex(trueFalse)) # Think we can
119     just do something like dataframe = dataframe[trueFalse]
120     return dataframe
121
122 # checks if there are any transitions of interest in the range.

```

```
110 def moleculesInRange(min, max, frequencies):
111     for freq in frequencies["Ordered Freq (GHz)"].tolist():
112         if min < freq < max:
113             return True
114     return False
115
116 # turns an array of booleans to an array of indices to remove (False =
117   Remove)
118 def trueFalseToIndex(TrueFalse):
119     indices = []
120     for i in range(len(TrueFalse)):
121         if not TrueFalse[i]:
122             indices.append(i)
123     return indices
124
125 # Same as alminer.download_data except it ignores individual files larger
126   than {maxSize} GB
127 def download_data2(observations, fitsonly=False, dryrun=False, print_urls=
128   False, filename_must_include='',
129                     location='./data', frequencies=[], maxSize=20):
130     """
131     Download ALMA data from the archive to a location on the local machine.
132     Parameters
133     -----
134     observations : pandas.DataFrame
135         This is likely the output of e.g. 'conesearch', 'target', 'catalog
136         ', & 'keysearch' functions.
137     fitsonly : bool, optional
138         (Default value = False)
139         Download individual fits files only (fitsonly=True). This option
140         will not download the raw data
141         (e.g. 'asdm' files), weblogs, or README files.
142     dryrun : bool, optional
143         (Default value = False)
144         Allow the user to do a test run to check the size and number of
145         files to download without actually
146         downloading the data (dryrun=True). To download the data, set
147         dryrun=False.
148     print_urls : bool, optional
149         (Default value = False)
150         Write the list of urls to be downloaded from the archive to the
151         terminal.
152     filename_must_include : list of str, optional
153         (Default value = '')
154         A list of strings the user wants to be contained in the url
155         filename. This is useful to restrict the
156         download further, for example, to data that have been primary beam
157         corrected ('.pbcor') or that have
```

```
149         the science target or calibrators (by including their names). The
150         choice is largely dependent on the
151         cycle and type of reduction that was performed and data products
152         that exist on the archive as a result.
153         In most recent cycles, the science target can be filtered out with
154         the flag '_sci' or its ALMA target name.
155         location : str, optional
156         (Default value = ./data)
157         directory where the downloaded data should be placed.
158         frequencies: dataframe
159         Dataframe of frequencies from splatalogue as given by
160         alminer_extensions.get_frequencies()
161         maxSize : float
162         (Default value = 20)
163         The maximum file size of a single file in GB.
164
165     """
166     print("=====")
167     # we use astroquery to download data
168     myAlma = Alma()
169     default_location = './data'
170     myAlma.cache_location = default_location
171     # catch the case where the DataFrame is empty.
172     try:
173         if any(observations['data_rights'] == 'Proprietary'):
174             print("Warning: some of the data you are trying to download are
175             still in the proprietary period and are "
176                   "not publicly available yet.")
177             observations = observations[observations['data_rights'] == '
178             Public']
179             uids_list = observations['member_ous_uid'].unique()
180             # when len(uids_list) == 0, it's because the DataFrame included only
181             proprietary data and we removed them in
182             # the above if statement, so the DataFrame is now empty
183             if len(uids_list) == 0:
184                 print("No data to download. Check the input DataFrame. It is
185                 likely that your query results include only "
186                       "proprietary data which cannot be freely downloaded.")
187                 return
188             # this is the case where the query had no results to begin with.
189     except TypeError:
190         print("No data to download. Check the input DataFrame.")
191         return
192     # change download location if specified by user, else the location will
193     be the astrquery cache location
194     if location != default_location:
195         if os.path.isdir(location):
196             myAlma.cache_location = location
197         else:
```

```

189         print("{} is not a directory. The download location will be set
to {}".format(location, default_location))
190         myAlma.cache_location = default_location
191     if fitsonly:
192         data_table = Alma.get_data_info(uids_list, expand_tarfiles=True)
193         # filter the data_table and keep only rows with "fits" in '
access_url' and the strings provided by user
194         # in 'filename_must_include' parameter
195         dl_table = data_table[[i for i, v in enumerate(data_table['
access_url']) if v.endswith(".fits") and
196                             all(i in v for i in filename_must_include)]]
197         #dl_table.pprint_all()
198
199         # General idea is to check the mfs file to be able to map spw to
frequencies so that we can filter out and only
200         # download cube files of the transitions we are interested in.
201         oldLength = len(dl_table)
202         if ".cube" in filename_must_include and len(frequencies) > 0:
203             UIDquery = alminer.keysearch({'member_ous_uid': [uids_list[0]]})
204             alminer.download_data(UIDquery, fitsonly=True,
filename_must_include=["_sci", ".pbcor", ".mfs"],
205                             location=location)
206             i=0
207             spwToRestFreq = []
208             for filename in os.listdir(location):
209                 if filename.__contains__(".mfs"):
210                     with fits.open(location + "/" + filename) as hdul:
211                         h = hdul[0].header
212                         freq = h.get("RESTFRQ")
213                         spw = h.get("SPW")
214                         spwToRestFreq.append([spw, freq,i])
215                         i = i+1
216                         del hdul[0].data
217
218             spwToRestFreq = np.array(sorted(spwToRestFreq, key = lambda x: x
[1])) # sort according to frequencies
219
220             newIndex = spwToRestFreq[:,2] # spw order
221
222             UIDquery = UIDquery.sort_values(by=['min_freq_GHz'])
223             UIDquery = UIDquery.reset_index()
224
225             UIDquery["newIndex"] = newIndex
226             UIDquery = UIDquery.set_index("newIndex")
227             UIDquery = UIDquery.sort_values(by=["newIndex"]) # sort the
query in "spw order".
228
229             #UIDquery.to_csv("query2.csv")
230             trueFalse = [moleculesInRange(minFreq, maxFreq, frequencies) for

```

```

minFreq, maxFreq in
231         zip(UIDquery['min_freq_GHz'], UIDquery['
max_freq_GHz'])])
232     dl_table = dl_table[trueFalse]
233
234     dl_table = dl_table[dl_table['content_length'] < maxSize * 1e9] #
filter on file size (hard to handle too large files)
235     dl_link_list = dl_table['access_url'].tolist()
236     # keep track of the download size and number of files to download
237     dl_size = dl_table['content_length'].sum() / 1E9
238     dl_files = len(dl_table)
239     print("Original number of files:" + oldLength + ". Reduced number of
files: " + dl_files + ".")
240     if dryrun:
241         print("This is a dryrun. To begin download, set dryrun=False.")
242         print("=====")
243     else:
244         print("Starting download. Please wait...")
245         print("=====")
246         myAlma.download_files(dl_link_list, cache=True)
247     else:
248         data_table = Alma.get_data_info(uids_list, expand_tarfiles=False)
249         dl_link_list = data_table['access_url'].tolist()
250         # keep track of the download size and number of files to download
251         dl_size = data_table['content_length'].sum() / 1E9
252         dl_files = len(data_table)
253         if dryrun:
254             print("This is a dryrun. To begin download, set dryrun=False.")
255             print("=====")
256         else:
257             print("Starting download. Please wait...")
258             print("=====")
259             myAlma.retrieve_data_from_uid(uids_list, cache=True)
260         print("Download location = {}".format(myAlma.cache_location))
261         print("Total number of Member OUSs to download = {}".format(len(
uids_list)))
262         print("Selected Member OUSs: {}".format(uids_list.tolist()))
263         print("Number of files to download = {}".format(dl_files))
264         if dl_size > 1000.:
265             print("Needed disk space = {:.1f} TB".format(dl_size / 1000.))
266         elif dl_size < 1.:
267             print("Needed disk space = {:.1f} MB".format(dl_size * 1000.))
268         else:
269             print("Needed disk space = {:.1f} GB".format(dl_size))
270         if print_urls:
271             print("File URLs to download = {}".format("\n".join(dl_link_list)))
272         print("-----")

```

D

FittingData.py

```
1 from fileinput import filename
2 import numpy as np
3 import matplotlib.pyplot as plt
4 from astropy.io import fits
5 from alminer_extensions import get_molecule, get_frequencies
6 import scipy.optimize as opt
7 from astropy.wcs import WCS
8 import warnings
9 import os
10 from heapq import heappop, heappush, heapify
11
12 warnings.filterwarnings("ignore")
13
14 freqs = get_frequencies('molecules.csv')
15
16 #####
17 # Math and helper functions
18 #####
19
20 def twoDimensionalEllipticalGauss(xDataTuple, amplitude, xCenter, yCenter,
21     sigmaX, sigmaY, theta, offset):
22     """
23     Evaluates the two-dimensional Gaussian function at some coordinates
24     given the parameters.
25     -----
26     xDataTuple : tuple of (list of) floats
27         The coordinates where the function is evaluated
28     amplitude : float
29         The amplitude of the Gaussian
30     xCenter : float
31         The x-coordinate for the center point of the Gaussian
32     yCenter : float
33         The y-coordinate for the center point of the Gaussian
34     sigmaX : float
35         The standard deviation of the Gaussian in the x-direction
36     sigmaY : float
37         The standard deviation of the Gaussian in the y-direction
```

```
36     theta : float
37         The counterclockwise rotation of the Gaussian
38     offset : float
39         The offset of the Gaussian (shift in the z-direction)
40     Returns
41     -----
42     A 1-dimensional array containing the function evaluated at every given
43     coordinate, in row-major order.
44     """
45     x, y = xDataTuple
46     xCenter = float(xCenter)
47     yCenter = float(yCenter)
48     a = np.cos(theta) ** 2 / (2 * sigmaX ** 2) + np.sin(theta) ** 2 / (2 *
49     sigmaY ** 2)
50     b = -np.sin(2 * theta) / (4 * sigmaX ** 2) + np.sin(2 * theta) / (4 *
51     sigmaY ** 2)
52     c = np.sin(theta) ** 2 / (2 * sigmaX ** 2) + np.cos(theta) ** 2 / (2 *
53     sigmaY ** 2)
54     z = offset + amplitude * np.exp(- (a * ((x - xCenter) ** 2) + 2 * b * (x
55     - xCenter) * (y - yCenter)
56     + c * ((y - yCenter) ** 2)))
57     return z.ravel()
58
59 def oneDimensionalGaussian(x, amplitude, center, sigma, offset=0):
60     """
61     Evaluates the one dimensional Gaussian function at a value x given
62     parameters.
63     -----
64     x : float
65         The location to compute the function.
66     amplitude : float
67         The amplitude of the gaussian(max value)
68     center : float
69         The center of the gaussian(location of max)
70     sigma : float
71         The standard deviation of the gaussian(in "space")
72     offset : float
73         The offset of the gaussian(shift in y-direction)
74     Returns
75     -----
76     The value of the specified gaussian at point x.
77     """
78     return offset + abs(amplitude) * np.exp(-(x - center) ** 2 / (2 * sigma
79     ** 2))
80
81 def sumOfTwoGauss(x, amplitude1, center1, sigma1, offset1, amplitude2,
82     center2, sigma2, offset2):
```



```
77     """
78     Evaluates the sum of two one dimensional Gaussians at a point x given
parameters
79     -----
80     x : float
81         The location to compute the function.
82     amplitude : float
83         The amplitude of the gaussian(max value)
84     center : float
85         The center of the gaussian(location of max)
86     sigma : float
87         The standard deviation of the gaussian(in "space")
88     offset : float
89         The offset of the gaussian(shift in y-direction)
90     Returns
91     -----
92     The value of the specified gaussian at point x.
93     """
94     return oneDimensionalGaussian(x, amplitude1, center1, sigma1, offset1) +
oneDimensionalGaussian(x, amplitude2,
95
96                             center2, sigma2,
97
98                             offset2)
99 def sumOfThreeGauss(x, a1, c1, s1, o1, a2, c2, s2, o2, a3, c3, s3, o3):
100     """
101     Evaluates the sum of three one dimensional Gaussians (where the third
has negative amplitude) at a point x given parameters
102     -----
103     x : float
104         The location to compute the function.
105     a : float
106         The amplitude of the gaussian(max value)
107     c : float
108         The center of the gaussian(location of max)
109     s : float
110         The standard deviation of the gaussian(in "space")
111     o : float
112         The offset of the gaussian(shift in y-direction)
113     Returns
114     -----
115     The value of the specified gaussian at point x.
116     """
117     return oneDimensionalGaussian(x, a1, c1, s1, o1) +
oneDimensionalGaussian(x, a2, c2, s2,
118
119                             o2) - oneDimensionalGaussian(x, a3, c3,
```

```
119                                     s3, o3)
120
121
122 def linFunc(x, k, m):
123     """Computes value of the line function  $y = kx+m$  at  $x$  value"""
124     return k * x + m
125
126
127 def fitWrapper(coeffs, *args):
128     """Wrapper function that allows us to weight a line function"""
129     xdata, ydata, prio = args
130     return prio * (linFunc(xdata, *coeffs) - ydata)
131
132
133 def clearPlots(plotIndicies):
134     """Clears and closes all plots"""
135     for i in plotIndicies:
136         plt.figure(i)
137         plt.clf()
138         plt.cla()
139         plt.close()
140
141
142 def rms(matrix):
143     """Computes the quadratic mean"""
144     vals = np.ravel(matrix)
145     rootmeansquared = np.sqrt(np.nanmean(vals ** 2))
146     return rootmeansquared
147
148
149 def computeNoise(moment, partitions=8):
150     """
151     Computes the noise in a moment map by subdividing the map and computing
152     the average noise in each submap.
153     -----
154     moment : matrix
155             The moment map matrix
156     partitions : integer
157             The side length for the grid, i.e. we get a (partitions x partitions)
158     ) grid
159     Returns
160     -----
161     """
162     means = []
163     imageWidth = moment.shape[0]
164     for submatrix in split(moment, imageWidth // partitions, imageWidth //
165                             partitions):
166         submatrix = submatrix[~np.isnan(submatrix)]
```

```
164         if len(submatrix) < 5:
165             continue
166         means.append(rms(submatrix))
167     return np.min(means)
168
169
170 def split(array, nrows, ncols):
171     """Helper method that splits a matrix into sub-matrices."""
172
173     r, h = array.shape
174     return (array.reshape(h // nrows, nrows, -1, ncols)
175             .swapaxes(1, 2)
176             .reshape(-1, nrows, ncols))
177
178 #####
179 # Data fitting
180 #####
181
182 def fit2DGaussianToContData(filename, createPlot=False,
183                             plotDistanceFromCenter=10):
184     """
185     Fits a two-dimensional Gaussian function to continuum data.
186     -----
187     filename : String
188         The location of the continuum data fits file.
189     createPlot : bool, optional
190         (Default value = False)
191         Plots the gaussian fit to the continuum data.
192     plotDistanceFromCenter : float, optional
193         (Default value = 10)
194         Determines how far out from the center the bounds of the plot are.
195     Returns
196     -----
197     The fitted parameters to the Gaussian function.
198     """
199     with fits.open(filename) as hdul:
200         fitsData = hdul[0].data
201         contMatrix = np.squeeze(fitsData) # Transforms matrix into correct
202         shape
203         imageWidth = contMatrix.shape[0]
204         contMatrix = np.nan_to_num(contMatrix)
205         x = np.linspace(0, imageWidth, imageWidth)
206         y = np.linspace(0, imageWidth, imageWidth)
207         x, y = np.meshgrid(x, y)
208         initialGuess = [np.max(contMatrix), imageWidth / 2, imageWidth / 2,
209                        1, 1, 0, 1]
210         fittedValues, _ = opt.curve_fit(twoDimensionalEllipticalGauss, (x, y),
211                                         contMatrix.ravel(), p0=initialGuess)
212         if createPlot:
```

```
209         fittedData = twoDimensionalEllipticalGauss((x, y), *fittedValues
210     )
211     plt.figure(1)
212     wcs = WCS(filename)
213     if wcs.naxis > 2:
214         wcs = wcs.sub(2)
215     plt.subplot(projection=wcs)
216     plt.imshow(contMatrix, origin='lower')
217     plt.colorbar(label=r"Intensity (Jy beam$^{-1}$)")
218     plt.contour(x, y, fittedData.reshape(imageWidth, imageWidth), 2,
219         colors="w")
220     plt.xlabel("Right Ascension (J2000)")
221     plt.ylabel("Declination (J2000)")
222     plt.title(hdul[0].header.get("OBJECT").replace("_", " ") + "
223     Continuum")
224     plt.axis([fittedValues[1] - plotDistanceFromCenter *
225         fittedValues[3], # Show plot in region around max
226         fittedValues[1] + plotDistanceFromCenter *
227         fittedValues[3],
228         fittedValues[2] - plotDistanceFromCenter *
229         fittedValues[4],
230         fittedValues[2] + plotDistanceFromCenter *
231         fittedValues[4]])
232     plt.savefig(filename.split(".cont")[0] + "_contFit" + ".pdf")
233     del hdul[0].data
234     return fittedValues
235
236 def getPointsWithinGaussian(fittedValues, proportionOfMaximum=1 / 2,
237     distanceFromCenter=10, createPlot=False):
238     """
239     Finds the points which are in an ellipse of "given size"
240     -----
241     fittedValues : list of floats
242         List of fitted parameters to the Gaussian function.
243     proportionOfMaximum : float, optional
244         (Default value = 1/2 {FWHM} )
245         Cutoff for size of ellipse
246     distanceFromCenter: float, optional
247         (Default value = 10)
248         How far from the center to search, (to skip iterating over all 1000
249         x1000 pixels)
250     createPlot : bool, optional
251         (Default value = False)
252         Plots the points.
253     Returns
254     -----
255     A list of all coordinates contained within an ellipse of given size.
256     """
257     fMax = fittedValues[0] + fittedValues[6]
```

```
249     xCenter = fittedValues[1]
250     yCenter = fittedValues[2]
251     xSigma = np.abs(fittedValues[3])
252     ySigma = np.abs(fittedValues[4])
253     coordinatesInEllipse = []
254     for i in range(int(xCenter - distanceFromCenter * xSigma), int(xCenter +
distanceFromCenter * xSigma)):
255         for j in range(int(yCenter - distanceFromCenter * ySigma), int(
yCenter + distanceFromCenter * ySigma)):
256             if twoDimensionalEllipticalGauss((i, j), *fittedValues) > fMax *
proportionOfMaximum:
257                 coordinatesInEllipse.append([i, j])
258     if createPlot:
259         x, y = np.array(coordinatesInEllipse).T
260         plt.scatter(x, y, c='black')
261     return coordinatesInEllipse
262
263
264 def oneDGaussianMeanFit(means, createPlot=False):
265     """
266     Fits a one dimensional Gaussian to a list of values
267     -----
268     means : list of floats
269         The values to fit the Gaussian to.
270     createPlot : bool, optional
271         (Default value = False)
272         Decides if the fit is plotted
273     Returns
274     -----
275     The parameters of the fitted Gaussian.
276     """
277     n = len(means)
278     x = np.linspace(1, n, n)
279     sigma = len(means) / 30
280     initialGuess = [np.max(means), np.argmax(means), sigma]
281     parameters, _ = opt.curve_fit(oneDimensionalGaussian, x, means, p0=
initialGuess)
282     if createPlot:
283         plt.figure(8)
284         plt.plot(x, means, 'b+:', label='data')
285         plt.plot(x, oneDimensionalGaussian(x, *parameters), 'ro:', label='
fit')
286     return parameters
287
288
289 def bimodalGaussianMeanFit(means, createPlot=False, createSubPlot=False):
290     """
291     Fits the sum of two one dimensional Gaussians to a list of values
292     -----
```

```
293 means : list of floats
294     The values to fit the Gaussian to.
295 createPlot : bool, optional
296     (Default value = False)
297     Decides if the fit is plotted
298 createSubPlot : bool, optional
299     (Default value = False)
300     Decides if the subfit is plotted
301 Returns
302 -----
303 The parameters of the fitted Gaussians.
304 """
305 n = len(means)
306 x = np.linspace(1, n, n)
307 sigma = oneDGaussianMeanFit(means, createSubPlot)[2]
308 initialGuess = [np.max(means), np.argmax(means), sigma, 0.001, np.max(
309     means), np.argmax(means), sigma,
310     0.001]
311 lowerBounds = [-2 * np.max(means), 0, -len(means), -1, -2 * np.max(means),
312     0, -len(means), -1]
313 upperBounds = [2 * np.max(means), len(means), len(means), 1, 2 * np.max(
314     means), len(means), len(means), 1]
315 parameters, _ = opt.curve_fit(sumOfTwoGauss, x, means, p0=initialGuess,
316     bounds=(lowerBounds, upperBounds))
317 if createPlot:
318     plt.figure(9)
319     plt.plot(x, means, 'b+:', label='data')
320     plt.plot(x, sumOfTwoGauss(x, *parameters), 'ro:', label='fit')
321 return parameters
322
323 def trimodalGaussianMeanFit(means, createPlot=False, createSubPlot=False):
324     """
325     Fits the sum of three one dimensional Gaussians to a list of values
326     -----
327     means : list of floats
328         The values to fit the Gaussian to.
329     createPlot : bool, optional
330         (Default value = False)
331         Decides if the fit is plotted
332     createSubPlot : bool, optional
333         (Default value = False)
334         Decides if the subfit is plotted
335 Returns
336 -----
337 The parameters of the fitted Gaussians.
338 """
339 n = len(means)
340 x = np.linspace(1, n, n)
```

```
338     sigma = oneDGaussianMeanFit(means, createSubPlot)[2]
339     initialGuess = [np.max(means), np.argmax(means), sigma, 0.001, np.max(
means), np.argmin(means) + sigma, sigma,
340                     0.001, np.min(means), np.argmin(means), sigma, 0.001]
341     lowerBounds = [-2 * np.max(means), 0, -len(means), -1, -2 * np.max(means
), 0, -len(means), -1, -2 * np.max(means),
342                   0, -len(means), -1]
343     upperBounds = [2 * np.max(means), len(means), len(means), 1, 2 * np.max(
means), len(means), len(means), 1,
344                   2 * np.max(means), len(means), len(means), 1]
345     parameters, _ = opt.curve_fit(sumOfThreeGauss, x, means, p0=initialGuess
, bounds=(lowerBounds, upperBounds))
346     if createPlot:
347         plt.figure(10)
348         plt.plot(x, means, 'b+:', label='data')
349         plt.plot(x, sumOfThreeGauss(x, *parameters), 'ro:', label='fit')
350     return parameters
351
352
353 #####
354 # Intensity Profiles and Ranges
355 #####
356
357 def meanSpectralProfile(filename, coordinates, createPlot=False):
358     """
359     Computes the mean intensity in the fitted region for each frequency
360     -----
361     filename : String
362         The location of the cube data fits file.
363     coordinates : ints
364         List of coordinates within the given region.
365     createPlot : bool, optional
366         (Default value = False)
367         Plots the spectral profile.
368     Returns
369     -----
370     A list of the mean values for each frequency.
371     """
372     with fits.open(filename) as hdul:
373         cube = hdul[0].data
374         cubeData = np.squeeze(cube)
375         means = []
376         for i in range(0, cubeData.shape[0]):
377             mean = 0
378             for x, y in coordinates:
379                 mean += cubeData[i, x, y]
380             mean = mean / len(coordinates)
381             means.append(mean)
382
```

```
383     rootMean = rms(means)
384     print(rootMean)
385
386     if createPlot:
387         header = hdul[0].header
388         x = np.linspace(header.get("CRVAL3"), header.get("CRVAL3") +
header.get("CDELTA3") * cubeData.shape[0],
389                         cubeData.shape[0])
390         if header.get("CDELTA3") < 0:
391             x = np.flip(x)
392         plt.figure(3)
393         plt.plot(x, means)
394         plt.axhline(rootMean)
395         col = "k"
396         plt.axvline(x=header.get("RESTFRQ"), color=col)
397         plt.xlabel("Frequency (Hz)")
398         plt.ylabel(r"Mean intensity (Jy beam$^{-1}$)")
399         plt.title(hdul[0].header.get("OBJECT").replace("_", " ") + "
Spectral Profile")
400         plt.savefig(filename.split(".cube")[0] + "_spectralProfile" + ".
pdf")
401         del hdul[0].data
402     return means
403
404
405 def findRangesByInflection(means, filename, createPlot=False):
406     """
407     Computes inflection points of the spectral profile and extracts ranges.
408     Needs some work.
409     -----
410     means : list of floats
411             The mean values for each frequency
412     createPlot : bool, optional
413                 (Default value = False)
414                 Plots the inflection points
415     Returns
416     -----
417     A list of start and end values for use as bounds.
418     """
419     interpolatedMeans = sumOfThreeGauss(np.linspace(0, len(means), len(means)
)), *trimodalGaussianMeanFit(means))
420     normalisedSquaredError = np.mean(((interpolatedMeans - means) / np.max(
means)) ** 2) # rms kanske istället
421     print("error: ", normalisedSquaredError)
422     if normalisedSquaredError > 0.05:
423         return "break"
424
425     interpolatedMeansDerivative = np.gradient(interpolatedMeans)
426     interpolatedMeans2ndDerivative = np.gradient(interpolatedMeansDerivative)
```



```
)
# add small number to avoid float precision errors when approaching zero
inflectionPoints = np.where(np.diff(np.sign(
interpolatedMeans2ndDerivative + 1e-18))))[0]
extremumPoints = np.where(np.diff(np.sign(interpolatedMeansDerivative +
1e-18))))[0]

# Finds smallest local minimum in the region between the two largest
local maximums
minPoints = {}
maxPoints = {}
for extremum in extremumPoints:
    if interpolatedMeans2ndDerivative[extremum] > 0:
        minPoints[extremum] = interpolatedMeans[extremum]
    elif interpolatedMeans2ndDerivative[extremum] < 0:
        maxPoints[extremum] = interpolatedMeans[extremum]

sortedMax = dict(sorted(maxPoints.items(), key=lambda item: item[1]))
twoLargestMaxima = sorted(list(sortedMax)[-2:])
sortedMin = dict(sorted(minPoints.items(), key=lambda item: item[1]))
for point in sortedMin:
    if twoLargestMaxima[1] >= point >= twoLargestMaxima[0]:
        minPoint = point
        break

lower = inflectionPoints[inflectionPoints <= minPoint]
upper = inflectionPoints[inflectionPoints >= minPoint]
if len(upper) == 1 or len(lower) == 1:
    raise Exception("Not enough inflection points")

if createPlot:
    plt.figure(4)
    x = np.linspace(0, len(means) - 1, len(means))
    plt.plot(x, means, 'ro:')
    plt.plot(x, interpolatedMeans)
    for inflectionPoint in inflectionPoints:
        1 + 1
    for extremum in extremumPoints:
        plt.axvline(x=extremum, color='k')
    for minPoint in minPoints:
        plt.axvline(x=minPoint, color='g')
    with fits.open(filename) as hdul:
        plt.title(hdul[0].header.get("OBJECT").replace("_", " ") + "
Ranges")
        plt.savefig(filename.split(".cube")[0] + "_ranges" + ".pdf")
        del hdul[0].data
    return [lower[0], lower[-1], upper[0], upper[-1]]
```

```
470 def findRangesByGaussianFit(means, createPlot=False, createSubPlot=False,
471 modality=2, sigmaMult=1):
472     """
473     Finds the ranges to compute moment maps from by fitting Gaussians. (Does
474     not work well for modality = 3)
475     -----
476     means : list of floats
477         The values to fit the Gaussian to.
478     createPlot : bool, optional
479         (Default value = False)
480         Decides if the fit is plotted
481     createSubPlot : bool, optional
482         (Default value = False)
483         Decides if the subfit is plotted
484     modality : integer
485         (Default value = 2)
486         How many Gaussians to fit
487     sigmaMult : float
488         (Default value = 1)
489         How many standard deviations from the peaks to include in the range
490     .
491     Returns
492     -----
493     The ranges to compute momentmaps from.
494     """
495     if modality == 2:
496         parameters = bimodalGaussianMeanFit(means, createPlot, createSubPlot)
497     elif modality == 3:
498         parameters = trimodalGaussianMeanFit(means, createPlot,
499 createSubPlot)
500     else:
501         raise Exception("Unsupported modality of Gaussian")
502     center1 = parameters[1]
503     center2 = parameters[5]
504     sigma1 = abs(parameters[2])
505     sigma2 = abs(parameters[6])
506     ranges = [int(center1 - sigmaMult * sigma1), int(center1 + sigmaMult *
507 sigma1), int(center2 - sigmaMult * sigma2),
508 int(center2 + sigmaMult * sigma2)]
509     return ranges
510
511 def findRangesByRMS(means):
512     """Gets the indicies of all intensities larger than the rms in the
513     spectral profile"""
514     rootMean = rms(means)
515     indicies = [i for i in range(len(means)) if means[i] > rootMean]
516     return indicies
```

```

512
513
514 #####
515 # Moment maps
516 #####
517
518 def computeMoments(filename, ranges, createPlot=False):
519     """
520     Computes red- and blueshifted moments given a datacube and ranges and
521     joins blue- and rightshifted sides.
522     -----
523     filename : String
524         The location of the cube data fits file.
525     ranges : list of floats
526         The start and endpoints of the ranges where moments are to be
527         computed.
528     createPlot : bool, optional
529         (Default value = False)
530         "Plots" the moment map
531     Returns
532     -----
533     Two matrices with the "intensities" making up the blue- and redshifted
534     moment maps.
535     """
536     with fits.open(filename) as hdul:
537         cube = hdul[0].data
538         cubeData = np.squeeze(cube)
539         cubeSlab1 = cubeData[ranges[0]:ranges[1], :, :]
540         cubeSlab2 = cubeData[ranges[2]:ranges[3], :, :]
541         moment1 = np.sum(cubeSlab1, axis=0)
542         moment2 = np.sum(cubeSlab2, axis=0)
543         if createPlot:
544             wcs = WCS(filename)
545             if wcs.naxis > 2:
546                 wcs = wcs.sub(2)
547             plt.figure(5)
548             plt.subplot(projection=wcs)
549             plt.imshow(moment1, origin='lower')
550             plt.colorbar(label=r"Integrated Intensity (Jy beam$^{-1}$ km s$^{-1}$)")
551             plt.xlabel("Right Ascension (J2000)")
552             plt.ylabel("Declination (J2000)")
553             plt.title(hdul[0].header.get("OBJECT").replace("_", " ") + "
554             Moment 0 Map")
555             plt.savefig(filename.split(".cube")[0] + "_moment1" + ".pdf")
556             plt.figure(6)
557             plt.subplot(projection=wcs)
558             plt.imshow(moment2, origin='lower')
559             plt.colorbar(label=r"Integrated Intensity (Jy beam$^{-1}$ km s$^{-1}$")

```

```
    ^{-1}$)")
556         plt.xlabel("Right Ascension (J2000)")
557         plt.ylabel("Declination (J2000)")
558         plt.title(hdul[0].header.get("OBJECT").replace("_", " ") + "
Moment 0 Map")
559         plt.savefig(filename.split(".cube")[0] + "_moment2" + ".pdf")
560         del hdul[0].data
561         return moment1, moment2
562
563
564 def maskedMoment(moment, factor=1):
565     """Sets all values lower than factor*noise to 0"""
566     moment[moment < factor * computeNoise(moment)] = 0
567     plt.figure()
568     plt.imshow(moment, origin='lower')
569     return moment
570
571
572 def computeMomentsByMax(filename, indicies=[]):
573     """Computes a "moment" by for each pixel summing the 10% largest pixels
574     """
575     with fits.open(filename) as hdul:
576         cube = hdul[0].data
577         cubeData = np.squeeze(cube)
578
579         imageWidth = cubeData.shape[1]
580         moment = np.zeros((imageWidth, imageWidth))
581
582         for x in range(cubeData.shape[1]):
583             for y in range(cubeData.shape[1]):
584                 pixelVals = list(-1*cubeData[:, x, y])
585                 heapify(pixelVals)
586                 val = 0
587                 for i in range(cubeData.shape[0] // 10):
588                     val += -1*heappop(pixelVals)
589                 moment[x, y] = val
590
591         wcs = WCS(filename)
592         if wcs.naxis > 2:
593             wcs = wcs.sub(2)
594         plt.figure()
595         plt.subplot(projection=wcs)
596         plt.imshow(moment, origin='lower')
597         plt.colorbar(label=r"Integrated Intensity (Jy beam$^{-1}$ km s$^{-1}$
598         $)")
599         plt.xlabel("Right Ascension (J2000)")
600         plt.ylabel("Declination (J2000)")
601         plt.title(hdul[0].header.get("OBJECT").replace("_", " ") + " Moment
602         0 Map (Max)")
```

```

600         plt.savefig(filename.split(".cube")[0] + "_maxmoment" + ".pdf")
601         del hdul[0].data
602     return moment
603
604
605 def computeMomentByIndex(filename, indicies, createPlot=True):
606     """Computes a moment by summing all frequency indicies"""
607     with fits.open(filename) as hdul:
608         cube = hdul[0].data
609         cubeData = np.squeeze(cube)
610         cubeSlab = cubeData[indicies, :, :]
611         moment1 = np.sum(cubeSlab, axis=0)
612         if createPlot:
613             wcs = WCS(filename)
614             if wcs.naxis > 2:
615                 wcs = wcs.sub(2)
616             plt.figure()
617             plt.subplot(projection=wcs)
618             plt.imshow(moment1, origin='lower')
619             plt.colorbar(label=r"Integrated Intensity (Jy beam$^{-1}$ km s$^{-1}$)")
620             plt.xlabel("Right Ascension (J2000)")
621             plt.ylabel("Declination (J2000)")
622             plt.title(hdul[0].header.get("OBJECT").replace("_", " ") + "
Moment 0 Map (Index)")
623             plt.savefig(filename.split(".cube")[0] + "_indexmoment" + ".pdf"
)
624         del hdul[0].data
625     return moment1
626
627 #####
628 # Angle finding and contours
629 #####
630
631 def refineContours(contours, xCenter, yCenter):
632     """
633     "Refines" contours by deleting all contours that do not surround center
634     -----
635     contours : contour object from plt.contour
636             The contour object from plt.contour
637     xCenter : float
638             The x-coordinate for the center point of the disc
639     yCenter : float
640             The y-coordinate for the center point of the disc
641     Returns
642     -----
643     """
644
645

```

```
646 # First iteration to save all contours that surround center of disc
647 contoursAroundCenter = []
648 for level in contours.collections:
649     for kp, path in reversed(list(enumerate(level.get_paths()))): #
650         loop in reverse since deletions
651         if path.contains_point((xCenter, yCenter)):
652             contoursAroundCenter.append([level, path])
653
654 # Second iteration to remove all contours that are not within the above
655 contours
656 for level in contours.collections:
657     for kp, path in reversed(list(enumerate(level.get_paths()))):
658         if not path.contains_point((xCenter, yCenter)):
659             isWithin = False
660             for _, bigPath in contoursAroundCenter:
661                 if bigPath.contains_path(path):
662                     isWithin = True
663             if not isWithin:
664                 del (level.get_paths()[kp])
665
666 plt.gcf().canvas.draw() # updatatera plotten
667 return contours
668
669 def plotContours(moment1, moment2, fittedValues, filename, combinedPlot=True
670 ):
671     """
672     Plots the wanted contours by first removing noise, computing the
673     contours and then refining them.
674     -----
675     moment1 : matrix
676         The first moment map matrix
677     moment2 : matrix
678         The second moment map matrix
679     fittedValues : list of floats
680         List of fitted parameters to the Gaussian function.
681     combinedPlot : bool, optional
682         (Default value = True)
683         Plot both contours in same plot
684     Returns
685     -----
686     """
687     mmom1 = maskedMoment(moment1)
688     mmom2 = maskedMoment(moment2)
689     x, y = fittedValues[1:3]
690     plt.figure(1337)
691     contours1 = plt.contour(mmom1)
692     refineContours(contours1, x, y)
693     if not combinedPlot:
```

```
691     plt.figure()
692     contours2 = plt.contour(mmom2)
693     refineContours(contours2, x, y)
694     findAngleFromContour(contours1, contours2, fittedValues, filename)
695
696
697 def findAngleOfOutflow(moment, fittedValues, filename, extra="", coordinates
= [], useDistance=True):
698     """
699     Find and plots the directions where intensities are present.
700     -----
701     moment : matrix
702         The moment map matrix
703     fittedValues : list of floats
704         List of fitted parameters to the Gaussian function.
705     coordinates : list of list of ints
706         (Default value: [] (i.e. none))
707         Coordinates to ignore when calculating.
708     useDistance : boolean
709         (Default value = False)
710         Whether or not to weight by distance (in the sense that intensities
711         closer to the disc have more weight)
712
713     Returns
714     -----
715     """
716     xCenter, yCenter = fittedValues[1:3]
717     imageWidth = moment.shape[0]
718     angularIntensities = {}
719     noise = computeNoise(moment, partitions=20)
720     for i in range(-180, 180):
721         angularIntensities[i] = 0
722     newMoment = np.zeros((imageWidth, imageWidth))
723     for x in range(0, imageWidth):
724         for y in range(0, imageWidth):
725             if len(coordinates) == 0 or [x, y] not in coordinates:
726                 if moment[x, y] > noise:
727                     distanceFactor = 0
728                     if useDistance:
729                         distanceFactor = ((x - xCenter) ** 2 + (y - yCenter)
730 ** 2) / ((imageWidth * 0.5) ** 2)
731                     if distanceFactor > 1:
732                         continue
733                     index = np.floor(np.arctan2(x - xCenter, y - yCenter) *
180 / np.pi)
734                     angularIntensities[index] += moment[x, y] * (1 -
distanceFactor)
735                     angularIntensities[index + 180 if index < 0 else -180 +
((180 + index) % 180)] += moment[x, y] * (
```

```
734         1 - distanceFactor)
735         newMoment[x, y] = moment[x, y]*(1-distanceFactor)
736
737     with fits.open(filename) as hdul:
738         plt.figure()
739         plt.imshow(newMoment, origin="lower")
740         plt.scatter(xCenter, yCenter)
741         plt.title(hdul[0].header.get("OBJECT").replace("_", " ") + " Reduced
Moment")
742         plt.savefig(filename.split(".cube")[0] + "_redmoment" + extra + ".
pdf")
743         plt.figure()
744         ax = plt.subplot(111, polar=True)
745         bars = ax.bar((np.array(list(angularIntensities.keys())) * np.pi /
180, angularIntensities.values()),
746                       width=12 * np.pi / 180)
747         plt.title(hdul[0].header.get("OBJECT").replace("_", " ") + " Angular
intensities")
748         plt.savefig(filename.split(".cube")[0] + "_angles" + extra + ".pdf")
749         del hdul[0].data
750
751 # Finds the angle given contours
752 def findAngleFromContour(contour1, contour2, fittedValues, filename):
753     """From two contours find an angle."""
754     xCenter, yCenter = fittedValues[1:3]
755     coordinates = []
756     for level in contour1.collections: #adds all points of the contours to
an array.
757         for path in level.get_paths():
758             verts = np.array(path.vertices)
759             n = len(verts)
760             verts = verts[1::int(np.ceil(n / 8))]
761             for x, y in verts:
762                 coordinates.append([x, y])
763     for level in contour2.collections:
764         for path in level.get_paths():
765             verts = np.array(path.vertices)
766             n = len(verts)
767             verts = verts[1::int(np.ceil(n / 8))]
768             for x, y in verts:
769                 coordinates.append([x, y])
770
771     if len(coordinates) < 10:
772         return
773
774     coordinates = np.array(coordinates)
775     distanceFromCenter = (coordinates[:, 0] - xCenter) ** 2 + (coordinates
[:, 1] - yCenter) ** 2
776     prio = np.ceil(100 * distanceFromCenter / np.max(distanceFromCenter))
```



```

777     coordinates[0, :] = [xCenter, yCenter]
778     prio[0] = 100 * 100 # prioritize center
779     res = opt.least_squares(fitWrapper, x0=[1, 100], args=(coordinates[:,
780     0], coordinates[:, 1], prio))
781     coeff = res.x
782
783     # angle of contours
784     angle = np.arctan(coeff[0])
785     if angle < 0:
786         angle += np.pi
787
788     #angle of cont fit
789     clockWiseContRotation = fittedValues[5] * 180 / np.pi % 360
790     if fittedValues[4] > fittedValues[3]:
791         clockWiseContRotation = (clockWiseContRotation + 90) % 360
792     k = np.tan(-clockWiseContRotation * np.pi / 180) # finds slope of cont
793     line
794     m = yCenter - k * xCenter
795     print(fittedValues[3], fittedValues[4])
796
797     angleBetweenLines = np.arctan((coeff[0] - k) / (1 + coeff[0] * k)) #
798     finds the angle between the lines
799     print(np.abs(angleBetweenLines * 180 / np.pi))
800     with fits.open(filename) as hdul:
801         imageWidth = np.squeeze(hdul[0].data).shape[1]
802         plt.figure(1337)
803         x = np.linspace(0, imageWidth, 500)
804         y1 = np.polyval(coeff, x)
805         plt.plot(x, y1, 'k')
806         plt.plot(x, linFunc(x, k, m))
807         plt.xlim([0, imageWidth])
808         plt.ylim([0, imageWidth])
809         plt.title(hdul[0].header.get("OBJECT").replace("_", " ") + "
810         Contours")
811         plt.savefig(filename.split(".cube")[0] + "_contours" + ".pdf")
812         plt.figure(1)
813         plt.plot(x, linFunc(x, k, m))
814         del hdul[0].data
815
816 #####
817 # Complete analysis from fits files
818 #####
819
820 def findMoment(contFile, cubeFile, oneMillionPlots=False):
821     """
822     Finds and plots the momentmap and contours
823     -----
824     contFile : file

```

```
822     The continuum file of the observation
823     cubeFile : file
824     Datacube file from the observation
825     oneMillionPlots : bool, optional
826         (Default value = False)
827     Whether to plot all the plots or not
828 Returns
829 -----
830 """
831 clearPlots([1, 2, 3, 4, 5, 6, 1337])
832 fittedValues = fit2DGaussianToContData(contFile, oneMillionPlots)
833 coordinates = getPointsWithinGaussian(fittedValues, 1 / 15, 20, False)
834 means = meanSpectralProfile(cubeFile, coordinates, oneMillionPlots)
835 ranges = findRangesByInflection(means, cubeFile, oneMillionPlots)
836 moment1, moment2 = computeMoments(cubeFile, ranges, oneMillionPlots)
837 plt.figure()
838 plt.contour(moment1)
839 plt.figure()
840 plotContours(moment1, moment2, fittedValues, cubeFile)
841
842 plt.show()
843
844
845 def findMoment2(fittedValues, coordinates, cubeFile, oneMillionPlots=True):
846     """Helper function to analyse cube files given cont files"""
847     means = meanSpectralProfile(cubeFile, coordinates, oneMillionPlots)
848     ranges = findRangesByInflection(means, cubeFile, oneMillionPlots)
849     if ranges == "break":
850         return
851     moment1, moment2 = computeMoments(cubeFile, ranges, oneMillionPlots)
852     plotContours(moment1, moment2, fittedValues, cubeFile)
853
854 def analyseDir(dir, allPlots=True):
855     """Analyses an entire directory of fits files"""
856     cubeFiles = []
857     contFiles = []
858     for filename in os.listdir(dir):
859         if filename.__contains__(".cont") and filename.__contains__(".fits")
860 :
861         contFiles.append(dir + "/" + filename)
862         elif filename.__contains__(".cube") and filename.__contains__(".fits
863 ")
864 :
865         cubeFiles.append(dir + "/" + filename)
866
867 if len(contFiles) == 0:
868     return
869
870 for contFile in contFiles:
871     fittedValues = fit2DGaussianToContData(contFile, allPlots)
```

```
869         coordinates = getPointsWithinGaussian(fittedValues, 1 / 15, 20,
870 False)
871         for cubeFile in cubeFiles:
872             if cubeFile.__contains__(contFile.split("_sci")[0]):
873                 clearPlots([1, 2, 3, 4, 5, 6, 1337])
874                 try:
875                     findMoment2(fittedValues, coordinates, cubeFile,
allPlots)
876                 except:
877                     analasys_failed += 1
878                     print("exception occured :(")
879             print("done")
880 def analyseDir2(dir):
881     cubeFiles = []
882     contFiles = []
883     for filename in os.listdir(dir):
884         if filename.__contains__(".cont") and filename.__contains__(".fits")
:
885             contFiles.append(dir + "/" + filename)
886         elif filename.__contains__(".cube") and filename.__contains__(".fits
"):
887             cubeFiles.append(dir + "/" + filename)
888
889     if len(contFiles) == 0:
890         return
891
892     for contFile in contFiles:
893         fittedValues = fit2DGaussianToContData(contFile, True)
894         coordinates = getPointsWithinGaussian(fittedValues, 1 / 15, 20,
False)
895         for cubeFile in cubeFiles:
896             if cubeFile.__contains__(contFile.split("_sci")[0]):
897                 clearPlots([1, 2, 3, 4, 5, 6,7,8,9,10,11,1337])
898                 try:
899                     means = meanSpectralProfile(cubeFile, coordinates, True)
900                     indices = findRangesByRMS(means)
901                     indexMoment = computeMomentByIndex(cubeFile, indices)
902                     maxMoment = computeMomentsByMax(cubeFile, indices)
903                     findAngleOfOutflow(indexMoment, fittedValues, cubeFile, "
_index")
904                     findAngleOfOutflow(maxMoment, fittedValues, cubeFile, "
_max")
905                 except:
906                     alanasys_failed_2 += 1
907                     print("exception occured :(")
908             print("done")
```

E

main.py

```
1 from gc import get_freeze_count
2 import alminer
3 import alminer_extensions as almext
4 from keysearchmod import keysearch_mod
5 import pandas
6 import sys
7 import os
8 from astropy.io import ascii
9 from soupsieve import select
10 from FittingData import analyseDir, analyseDir2
11 import time
12
13 frequencies = almext.get_frequencies('./molecules.csv')
14
15 def download_routine(datadir, dryrun, keywords):
16     for i in range(len(keywords)):
17         # Query and filtering
18         print("Querying with keyword: " + keywords[i])
19         my_query = alminer.keysearch({'science_keyword': [keywords[i]]},
20 print_targets=False)
21         selected = my_query[my_query.obs_release_date > '2016']
22         selected = selected[selected.ang_res_arcsec < 0.4]
23         selected = almext.removeAllProjectsWithoutMolecules(selected,
24 frequencies)
25         selected = selected.drop_duplicates(subset='obs_id').reset_index
26         (drop=True)
27         selected = selected.sort_values(by=['obs_release_date'],
28 ascending=False)
29         print(len(selected))
30
31         # Iterates over the rows
32         for i in range(len(selected)):
33             tmp = selected.take([i])
34
35             obsdir = datadir + "/" + selected.iloc[i].at['obs_id'].
36             replace('uid://', '').replace('/', '-')
```

```
33         if os.path.isdir(obsdir):
34             print("Already analysed, skipping")
35             continue
36
37         if dryrun == 'True':
38             almext.download_data2(tmp, fitsonly=True, dryrun=True,
location=datadir, filename_must_include=[".pbcor", "_sci"], maxSize=30)
39         while(True):
40             inp = input("Would you like to proceed with the download
? [y/n]: ")
41             #inp = "y"
42             if inp.lower() == 'y':
43                 os.mkdir(obsdir)
44                 almext.download_data2(tmp, fitsonly=True, dryrun=
False, location=obsdir, filename_must_include=[".pbcor", "_sci", ".cont"
], maxSize=30)
45
46                 hasCont = False
47                 for filename in os.listdir(obsdir):
48                     if filename.__contains__(".cont"):
49                         hasCont = True
50
51                 if hasCont:
52                     almext.download_data2(tmp, fitsonly=True, dryrun
=False, location=obsdir, filename_must_include=[".pbcor", "_sci", ".cube"
], maxSize=30, frequencies=frequencies)
53                     analyseDir2(obsdir)
54                     time.sleep(20) #idk
55                     deleteAllFits(obsdir)
56                     break
57                 elif inp.lower() == 'n':
58                     print("Ok, skipping.")
59                     break
60                 else:
61                     print('Incorrect input, try again.')
62
63 def deleteAllFits(dir):
64     for filename in os.listdir(dir):
65         if filename.__contains__(".fits"):
66             os.remove(dir + "/" + filename)
67
68 # main program.
69 # sys.argv[1] == 'all' for all keywords, or a single keyword
70 # sys.argv[2] == True for dryrun before download, otherwise it can be
anything
71 def main():
72     # Directory for observation data
73     datadir = './data'
74     # Terminal inputs, given default values in case none are given
```

```
75     arg1 = 'all'
76     arg2 = 'True'
77
78     # All our chosen keywords
79     keywords = ['Disks around low-mass stars', 'Disks around high-mass stars',
80                'High-mass star formation',
81                'Intermediate-mass star formation', 'Low-mass star formation',
82                'Outflows, jets and ionized winds']
83
84     #Checks amount of terminal arguments
85     if len(sys.argv) >= 2:
86         arg1 = sys.argv[1]
87     if len(sys.argv) >= 3:
88         arg2 = sys.argv[2]
89     # Checks that the terminal input is correct
90     if arg1 not in keywords and arg1.lower() != 'all':
91         print("Incorrect input, shutting down.")
92         quit()
93
94     # If sys.argv[1] == 'all' then keywords consists of all keywords,
95     # otherwise takes the terminal input (a single keyword)
96     keywords = keywords if arg1.lower() == 'all' else [arg1]
97     # Makes a folder for data downloads if there is none
98     if not os.path.isdir(datadir):
99         os.mkdir(datadir)
100
101     download_routine(datadir, arg2, keywords)
102
103     print("Program finished, shutting down.")
104
105 if __name__ == "__main__":
106     main()
```

INSTITUTIONEN FÖR RYMD-, GEO- OCH MILJÖVETENSKAP
CHALMERS TEKNISKA HÖGSKOLA
Göteborg, Sverige
www.chalmers.se



CHALMERS